

## NSGAI-based task scheduling model for smart city applications in cloud-fog environment

Atousa Daghayeghi<sup>1</sup> and Mohsen Nickray<sup>2\*</sup>

1- Department of Computer Engineering and Information Technology, University of Qom, Qom, Iran.

2\*- Department of Computer Engineering and Information Technology, University of Qom, Qom, Iran.

<sup>1</sup> atousa.daghayeghi@stu.qom.ac.ir, and <sup>2\*</sup> m.nickray@qom.ac.ir

Corresponding author's address: Mohsen Nickray, Faculty of Computer Engineering and Information Technology, University of Qom, Qom, Iran.

**Abstract-** The advent of Internet of Things (IoT) technology has led to the concept of the smart city, in which smart devices are recognized as a necessity. The applications installed on these devices generate large volumes of data that often require real-time processing. However, these devices have limited capabilities and are not capable of processing large amounts of data. Moving all this data to cloud data centers results in higher bandwidth usage, latency, cost and energy consumption. Therefore, providing services to delay-sensitive smart city applications in the cloud is a challenging issue, and meeting the requirements of these applications requires the use of a hybrid cloud and fog paradigm. Fog computing as a complement to the cloud allows data to be processed near smart devices. However, the resources in the fog layer are heterogeneous and have different capabilities, hence, appropriate scheduling of these resources is of great importance. In this paper, the problem of task scheduling for the smart city applications in the cloud-fog environment has been addressed. To this purpose, the task scheduling problem has been modeled as a multi-objective optimization problem, which aims to minimize service delay and energy consumption of the system under deadline constraint. Then, in order to solve this problem and achieve an appropriate scheduling strategy, non-dominated sorting genetic algorithm II (NSGA-II) with customized operators has been applied. In addition, in order to improve the diversity of the population and the convergence speed of the proposed algorithm, a combination of chaotic map and opposition-based learning methods have been used to generate the initial population. Also, the approach based on the penalty function has been employed to penalize the solutions that do not meet the deadline constraint. The simulation results reveal that the proposed scheduling algorithm, compared to its best competitor, improves service response delay, waiting time, execution delay and system energy consumption by 1.49%, 1.70%, 2.7% and 1.86%, respectively. Furthermore, by properly assigning tasks to the computing nodes, compared to the best competitor, the percentage of missed-deadline tasks is reduced by 1.89%.

**Keywords-** Task scheduling, Smart city, Fog computing, Non-dominated sorting genetic algorithm II.

## ارائه‌ی یک مدل زمان‌بندی وظایف مبتنی بر الگوریتم ژنتیک چند هدفه با مرتب‌سازی نامغلوب برای برنامه‌های کاربردی شهر هوشمند در محیط ابر-مه

آتوسا دقایقی<sup>۱</sup>، محسن نیک‌رای<sup>۲\*</sup>

۱- دانشکده مهندسی کامپیوتر و فناوری اطلاعات، دانشگاه قم، قم، ایران.

۲- دانشکده مهندسی کامپیوتر و فناوری اطلاعات، دانشگاه قم، قم، ایران.

<sup>۱</sup> atousa.daghayeghi@stu.qom.ac.ir, <sup>۲\*</sup> m.nickray@qom.ac.ir

\* نشانی نویسنده مسئول: محسن نیک‌رای، قم، بلوار غدیر، دانشگاه قم، دانشکده مهندسی کامپیوتر و فناوری اطلاعات.

چکیده- ظهور تکنولوژی اینترنت اشیا مفهوم شهر هوشمند را ایجاد کرده که در این پارادایم، دستگاه‌های هوشمند به عنوان یک ضرورت شناخته می‌شوند. برنامه‌های کاربردی نصب‌شده بر روی این دستگاه‌ها باعث تولید حجم زیادی داده می‌شوند که اغلب نیازمند پردازش بلادرنگ می‌باشند. با این حال، این دستگاه‌ها دارای قابلیت‌های محدودی هستند و قادر به پردازش حجم زیاد داده‌ها نمی‌باشند. انتقال همه‌ی این داده‌ها به مراکز داده‌ی ابری منجر به استفاده از پهنای باند، تاخیر، هزینه و مصرف انرژی بیشتر می‌شود. از این رو، ارائه خدمات به برنامه‌های کاربردی شهر هوشمند حساس به تاخیر در ابر یک موضوع چالش برانگیز است و پاسخگویی به نیازمندی‌های این برنامه‌ها، مستلزم استفاده از پارادایم ترکیبی ابر و مه می‌باشد. رایانش مه به عنوان مکملی برای ابر امکان می‌دهد تا داده‌ها در نزدیکی دستگاه‌های هوشمند پردازش شوند. با این حال، منابع موجود در لایه‌ی مه ناهمگن و دارای قابلیت‌های متفاوتی می‌باشند، بنابراین زمان‌بندی مناسب این منابع از اهمیت زیادی برخوردار است. در این مقاله، به مسأله‌ی زمان‌بندی وظایف برای برنامه‌های کاربردی شهر هوشمند در محیط ابر-مه پرداخته شده است. به این منظور، مسأله‌ی زمان‌بندی وظیفه به صورت یک مسأله‌ی بهینه‌سازی چند هدفه مدل شده است که اهداف آن، کاهش تاخیر ارائه‌ی خدمات و مصرف انرژی سیستم با در نظر گرفتن قید مهلت زمانی می‌باشد. سپس به منظور حل این مسأله و دستیابی به استراتژی زمان‌بندی مناسب، الگوریتم ژنتیک چند هدفه با مرتب‌سازی نامغلوب با اپراتورهای سفارشی به کار گرفته شده است. علاوه بر این، به منظور بهبود تنوع جمعیت و سرعت همگرایی الگوریتم پیشنهادی، برای تولید جمعیت اولیه از ترکیب روش‌های نگاشت بی‌نظمی و یادگیری مبتنی بر تضاد استفاده شده است. همچنین رویکرد مبتنی بر تابع جریمه برای راه‌حلی که قید مهلت زمانی را برآورده نمی‌کنند، به کار گرفته شده است. نتایج شبیه‌سازی‌ها نشان می‌دهد که الگوریتم زمان‌بندی پیشنهادی، در مقایسه با بهترین رقیب خود، تاخیر ارائه‌ی خدمات، زمان انتظار، تاخیر اجرای وظیفه و مصرف انرژی سیستم را به ترتیب ۱/۴۹، ۱/۷۰، ۲/۷ و ۱/۸۶ درصد بهبود می‌دهد. علاوه بر این، با تخصیص مناسب وظایف به گره‌های محاسباتی در مقایسه با بهترین رقیب، درصد وظایفی که مهلت زمانیشان را از دست می‌دهند به میزان ۱/۸۹ درصد کاهش می‌دهد.

واژه‌های کلیدی: زمان‌بندی وظایف، شهر هوشمند، رایانش مه، الگوریتم ژنتیک چند هدفه با مرتب‌سازی نامغلوب.

### ۱- مقدمه

شده است. بخش‌های مختلف در شهر هوشمند، برای دستیابی به نتایج قابل توجه از طریق تجزیه و تحلیل اطلاعات بلادرنگ مشارکت می‌کنند. شهر هوشمند باعث کاهش ازدحام ترافیک و صرفه‌جویی

در سال‌های اخیر، به مفهوم شهر هوشمند به عنوان ابزاری برای غلبه بر چالش‌های مرتبط با رشد سریع اسکان در شهر<sup>۱</sup>، توجه زیادی

ترکیب مه و ابر یک معماری جامع یعنی مدل رایانش مه-ابر را توسعه می‌دهد که در آن، مه و ابر مکمل یکدیگر هستند و این دو نمی‌توانند جایگزین هم شوند [۹] و [۱۲]. با این حال، این مدل محاسباتی با چالش‌هایی از جمله مدیریت منابع، زمان‌بندی وظیفه<sup>۱۰</sup> و تعادل بار<sup>۱۱</sup> روبرو است.

مدیریت منبع به عنوان فرآیند تخصیص منابع پردازشی و ذخیره‌سازی به مجموعه‌ای از وظایف محاسباتی دریافت شده از برنامه‌های کاربردی تعریف می‌شود [۱۳]. زمان‌بندی وظیفه به عنوان یک فرآیند تصمیم‌گیری پیچیده در نظر گرفته می‌شود و زمان‌بندی موثر وظایف می‌تواند عملکرد سیستم‌های محاسباتی را بهبود دهد [۱۴]. بر طبق [۱۵]، اغلب مسائل زمان‌بندی شامل چهار عنصر اصلی منابع، وظایف محاسباتی، اهداف و قیود هستند. در مسأله‌ی زمان‌بندی وظیفه، نگرانی‌های کاربران بیشتر در رابطه با تاخیر سرویس، هزینه، مهلت زمانی و امنیت است در حالیکه، برای ارائه‌دهندگان سرویس کاهش مصرف انرژی، بهبود تعادل بار و استفاده منبع اهمیت دارد [۱۶]. بنابراین، ارائه‌ی یک الگوریتم زمان‌بندی مناسب که هم مزیت کاربران و هم مزیت ارائه‌دهندگان سرویس را در نظر می‌گیرد، ضرورت دارد.

برای یافتن راه‌حل برای مسأله‌ی زمان‌بندی وظیفه، رویکردهای دقیق<sup>۱۲</sup> و اکتشافی<sup>۱۳</sup> بکار گرفته می‌شوند [۱۵]. با این حال با توجه به np-hard بودن مسأله‌ی زمان‌بندی وظایف، رویکرد دقیق برای این مسائل عملی نمی‌باشد. رویکردهای اکتشافی قادر به یافتن پاسخ نزدیک به بهینه<sup>۱۴</sup> در زمان مناسب برای این مسائل هستند. الگوریتم‌های تکاملی مبتنی بر جمعیت<sup>۱۵</sup>، قدرتمندترین الگوریتم در میان رویکردهای اکتشافی هستند [۱۷]. به طور کلی برای حل مسائل بهینه‌سازی چند هدفه، دو روش وجود دارد [۱۸]. روش اول تبدیل مسأله به یک مسأله‌ی تک هدفه با دادن وزن متفاوت به هر هدف است. با این حال، مقدار وزن از قبل باید تعیین شود و نتیجه‌ی بهینه‌سازی، تا حد زیادی تحت تاثیر وزن اختصاص داده‌شده به هر هدف است. با تغییر تقاضای کاربر (به عنوان مثال اولویت بالاتر تاخیر سرویس نسبت به مصرف انرژی)، مقادیر وزن باید مجدداً تنظیم شود و الگوریتم باید مجدداً اجرا شود. دومین روش استفاده از الگوریتم تکاملی چند هدفه برای دستیابی به مجموعه‌ای از راه‌حل‌های بهینه است که به آن‌ها مجموعه‌ی پارتو<sup>۱۶</sup> گفته می‌شود. به این ترتیب، سیستم نیازی به اجرای مجدد الگوریتم‌ها حتی در صورت تغییر ترجیحات کاربران ندارد. الگوریتم ژنتیک چند هدفه با مرتب‌سازی نامغلوب<sup>۱۷</sup> [۱۹]، یک الگوریتم تکاملی چند هدفه است که هدف اصلی آن یافتن راه‌حل‌های بهینه‌ی پارتو در یک اجرای شبیه‌سازی است. مزایای NSGA-II عبارتند از: (۱) از یک تکنیک

در مصرف انرژی می‌شود و در نتیجه، کیفیت زندگی را بهبود می‌دهد [۱]. اینترنت اشیا<sup>۲</sup> و هوش مصنوعی، دو تکنولوژی اطلاعات پیشرفته هستند که برای بهبود سرویس‌های موجود در شهر هوشمند، بکار گرفته می‌شوند [۲] و [۳]. اگرچه شهر هوشمند، سرویس‌های زیادی را به شهروندان ارائه می‌دهد، با این حال، ایجاد شهر هوشمند با چالش‌های زیادی روبرو است. چالش اول، ایجاد یک شبکه‌ی توزیع شده و با مقیاس بزرگ بلادرنگ و دقیق با تعداد زیادی دستگاه‌های IoT هوشمند (به عنوان مثال تلفن‌های هوشمند، دستگاه‌های پوشیدنی، حسگرها و غیره) است. از طرفی، شبکه‌ی IoT هوشمند، حجم زیادی داده و وظایف محاسباتی<sup>۳</sup> را تولید می‌کند، که منجر به چالش تجزیه و تحلیل داده بزرگ<sup>۴</sup> می‌شود [۱] و [۲]. با توجه به افزایش تولید داده‌ها در لایه‌ی سنجش<sup>۵</sup> شهر هوشمند، دستگاه‌های IoT با افزایش فشار پردازش داده روبرو می‌شوند. با این حال، این دستگاه‌ها دارای قابلیت‌های محاسباتی مختلفی هستند و بیشتر آن‌ها، قابلیت پردازش داده‌ی محدودی دارند [۴]. بنابراین، ایجاد شهر هوشمند، نیازمند یک پارادایم<sup>۶</sup> محاسباتی برای پشتیبانی از تجزیه و تحلیل داده‌ی بزرگ است [۱].

اولین راه‌حل برای غلبه بر مسائل ذکر شده، استفاده از پارادایم رایانش ابر است که در آن، داده‌های تولید شده توسط برنامه‌های کاربردی هوشمند در دستگاه‌های IoT به مراکز داده‌ی ابری متمرکز برای پردازش ارسال می‌شوند [۵]. اگرچه، لایه‌ی ابر، منابع محاسباتی و ذخیره‌سازی نامحدودی را ارائه می‌دهد، با این حال، ارسال حجم زیادی از وظایف محاسباتی به آن منجر به افزایش تاخیر، افزایش ازدحام شبکه و کاهش بهره‌وری می‌شود [۶]. بنابراین، برای برنامه‌های کاربردی که به تاخیر حساس هستند و نیازمند پاسخ سریع هستند، مناسب نیست [۵]. رایانش مه<sup>۷</sup>، یک پارادایم محاسباتی نوظهور است، که اولین بار توسط سیسکو در سال ۲۰۱۲ معرفی شد که برای حل چالش‌ها و محدودیت‌های مربوط به رایانش ابر طراحی شده است [۷]. رایانش مه به عنوان یک پارادایم محاسباتی توزیع شده در نظر گرفته می‌شود که قابلیت‌های پردازش و ذخیره‌سازی را در دستگاه‌های میانی (به عنوان مثال دروازه‌ها<sup>۸</sup>، نقاط دسترسی<sup>۹</sup> و روترها) در لبه‌ی شبکه نزدیک به دستگاه‌های IoT ممکن می‌کند [۸]. این پارادایم برای ایجاد برنامه‌های کاربردی توزیع شده که حساس به تاخیر و حریم خصوصی هستند، مناسب‌تر است [۹]. با این حال، قابلیت‌های پردازشی و ذخیره‌سازی گره‌های مه کمتر از مراکز داده‌ی ابری است [۱۰]. بنابراین، وظایف محاسباتی که نسبت به تاخیر حساس هستند در مه پردازش می‌شوند، در حالیکه وظایف محاسباتی که نیازمند پاسخ سریع نیستند به مراکز داده‌ی ابری ارسال می‌شوند [۱۱]. در نتیجه،

۴، به جزئیات الگوریتم زمان‌بندی پیشنهادی اختصاص یافته‌است. در بخش ۵ به ارزیابی روش پیشنهادی این مقاله پرداخته شده‌است و در نهایت، در بخش ۶، نتیجه‌گیری نهایی و کارهای آتی ارائه شده‌است.

## ۲- پژوهش‌های مرتبط

در این بخش به بررسی پژوهش‌های مرتبط خواهیم پرداخت. به این منظور، پژوهش‌های مرتبط در سه دسته قرار گرفته‌اند. در ابتدا، کارهای انجام شده در رابطه با شهر هوشمند مبتنی بر رایانش مه را بررسی خواهیم کرد و پس از آن، به بررسی کارهای انجام شده در رابطه با مدیریت منبع و زمان‌بندی وظایف در محیط ابر یا مه با بهره‌گیری از روش‌های بهینه‌سازی خواهیم پرداخت. در نهایت، کارهای انجام شده در محیط ترکیبی مه-ابر را بررسی خواهیم کرد.

### ۲-۱- شهر هوشمند مبتنی بر مه

در [۲]، یک مدل رایانش مه مشارکتی<sup>۲۶</sup> در شهر هوشمند با هدف حداقل کردن تاخیر سرویس و مصرف انرژی سیستم ارائه شده که در آن، گره‌های مه منابعشان را با ارسال بار کاری<sup>۲۷</sup> خود به گره‌های دیگر به اشتراک می‌گذارند. در [۲۰]، یک روش استقرار سرویس IoT<sup>۲۸</sup> برای شهرهای هوشمند در رایانش لبه<sup>۲۹</sup>، ارائه شده‌است که اهداف استفاده منبع، تعادل بار، مصرف انرژی گره‌های رایانش لبه تحت محدودیت زمان را در نظر می‌گیرد. به منظور یافتن راه‌حل بهینه برای این مسأله، نویسندگان از الگوریتم تکاملی مبتنی بر قوت پارتو<sup>۳۰</sup> استفاده کرده‌اند. در [۲۱]، یک روش تخلیه‌بار محاسباتی<sup>۳۱</sup> هوشمند برای سرویس‌های مشارکتی شهر هوشمند در رایانش لبه ارائه شده‌است که حداقل‌سازی زمان پاسخ سرویس، بهینه‌سازی مصرف انرژی و حفظ تعادل بار در میان گره‌های محاسباتی لبه را در نظر می‌گیرد. نویسندگان در [۲۲]، یک معماری شبکه‌ی شهر هوشمند که توسط رایانش مه پشتیبانی می‌شود، ارائه داده‌اند. در این کار، یک ساختار چند بخشی با در نظر گرفتن سه نوع ارتباط بین دستگاه‌ها پیشنهاد شده‌است که در کاهش تاخیر و مصرف انرژی تاثیر قابل توجهی دارد. در [۲۳]، یک معماری سه لایه برای شهر هوشمند مبتنی بر مه با هدف کاهش تاخیر سرویس ارائه شده‌است که در آن وسایل نقلیه به عنوان گره‌های مه در نظر گرفته شده‌اند و واحدهای کنار جاده<sup>۳۲</sup> نقش یک زمان‌بند متمرکز را دارند.

مرتب‌سازی نامغلوب<sup>۱۸</sup> استفاده می‌کند تا راه‌حلی تا حد امکان نزدیک به راه‌حل پارتو-بهینه ارائه کند. (۲) از تکنیک فاصله‌ی ازدحامی<sup>۱۹</sup> برای ارائه‌ی تنوع در راه‌حل استفاده می‌کند. (۳) همچنین از تکنیک‌های نخبه‌گرایانه<sup>۲۰</sup> برای حفظ بهترین راه‌حل جمعیت فعلی در نسل بعدی استفاده می‌کند.

در این مقاله، یک طرح زمان‌بندی وظیفه مبتنی بر الگوریتم NSGA-II ارائه شده‌است که هدف آن بهینه‌سازی تاخیر ارائه‌ی خدمات و مصرف انرژی سیستم است، درحالی‌که محدودیت مهلت زمانی وظایف محاسباتی را در نظر می‌گیرد. به طور خلاصه، نوآوری‌های اصلی این مقاله به صورت زیر است:

- مسأله‌ی زمان‌بندی وظیفه به صورت یک مسأله‌ی بهینه‌سازی چند هدفه با اهداف حداقل‌سازی تاخیر ارائه‌ی خدمات و مصرف انرژی سیستم تحت محدودیت مهلت زمانی در محیط مه-ابر فرموله شده‌است.
- برای حل مسأله‌ی زمان‌بندی وظیفه و یافتن یک پاسخ ممکن برای آن، الگوریتم NSGA-II با عملگرهای تقاطع<sup>۳۱</sup> و جهش<sup>۳۲</sup> شخصی‌سازی شده پیشنهاد شده‌است. از آن‌جاکه همه‌ی الگوریتم‌های فراابتکاری شامل NSGA-II ممکن است در بهینه‌ی محلی گرفتار شوند و در معرض همگرایی زود هنگام قرار گیرند، برای تولید جمعیت اولیه از ترکیب روش نگاشت بی‌نظمی<sup>۳۳</sup> و یادگیری مبتنی بر تضاد<sup>۳۴</sup> استفاده کرده‌ایم.
- علاوه‌براین، رویکرد تابع جریمه<sup>۳۵</sup> برای راه‌حل‌های غیر ممکن که قیود مدل را برآورده نمی‌کنند، بکار گرفته شده‌است. به این منظور، راه‌حلی که محدودیت مهلت زمانی را برآورده نمی‌کنند با افزایش مقدار هزینه‌شان جریمه می‌شوند.
- عملکرد طرح زمان‌بندی وظیفه‌ی پیشنهادی، با استفاده از معیارهای ارزیابی مختلف شامل میانگین تاخیر پاسخ سرویس، میانگین درصد وظایفی که مهلت زمانیشان را از دست می‌دهند، میانگین زمان انتظار، میانگین تاخیر اجرای وظیفه، میانگین مصرف انرژی ارزیابی شده‌است و عملکرد آن با برخی از الگوریتم‌های زمان‌بندی موجود مقایسه شده‌است.

ادامه‌ی این مقاله به صورت زیر سازماندهی شده‌است. در بخش ۲، مقالات مرتبط بررسی شده‌است. در بخش ۳، مدل سیستم و فرموله‌سازی مسأله‌ی بهینه‌سازی ارائه شده‌است. در بخش

## ۲-۲- زمان بندی وظایف مبتنی بر روش های بهینه سازی در

محیط ابر یا مه

در سال های اخیر پژوهش های متعددی در رابطه با مسأله ی زمان بندی وظیفه انجام شده است که از الگوریتم های ابتکاری و فرااکتشافی برای یافتن یک راه حل نزدیک به بهینه در یک زمان مناسب استفاده می کنند. برخی از این پژوهش ها بهینه سازی یک هدف را در نظر می گیرند. برای مثال، در [۱۵]، رویکرد برنامه ریزی خطی عدد صحیح<sup>۳۳</sup> برای مدل کردن مسأله ی زمان بندی درخواست های IoT، با تمرکز بر کاهش تاخیر سرویس به کار گرفته شده است. نویسندگان رویکردی بر اساس الگوریتم ژنتیک برای دستیابی به راه حل های ممکن، ارائه داده اند. علاوه بر این، در این کار، از رویکردی برای جریمه کردن راه حل هایی که محدودیت مدل را برآورده نمی کنند، استفاده شده است. نویسندگان در [۲۴]، یک رویکرد زمان بندی وظیفه ی انرژی-آگاه در محیط مه پیشنهاد داده اند. برای دستیابی به راه حل بهینه در زمان مناسب، از یک روش هیبریدی استفاده شده است که الگوریتم بهینه سازی علف هرز مهاجم<sup>۳۴</sup> را همراه با الگوریتم تکاملی فرهنگی<sup>۳۵</sup> به کار می گیرد. در [۲۵]، یک چارچوب زمان بندی جریان کاری در محیط رایانش لبه موبایل<sup>۳۶</sup> با هدف کاهش مصرف انرژی ارائه شده است. این پژوهش بر مبنای الگوریتم بهینه سازی پروانه (BOA)<sup>۳۷</sup> توسعه داده شده است و به منظور بهبود عملکرد BOA، نویسندگان اپراتورهای تقاطع و جهش الگوریتم ژنتیک را به کار گرفته اند. این پژوهش همچنین یک روش اولویت بندی وظیفه را برای یافتن ترتیب اجرای وظایف به کار می گیرد. نویسندگان در [۲۶]، یک الگوریتم فراابتکاری ترکیبی برای زمان بندی وظیفه ارائه داده اند که از الگوریتم ژنتیک به دلیل توانایی اکتشاف خوب و از الگوریتم شبیه سازی تبرید<sup>۳۸</sup> برای توانایی بهره برداری آن استفاده می کند. هدف در نظر گرفته شده در این کار، کاهش زمان پاسخ می باشد.

برخی دیگر از پژوهش ها یک مسأله ی چند هدفه را در نظر می گیرند و موازنه بین اهداف مختلف را بررسی می کنند. به عنوان مثال، در [۲۷]، یک مسأله ی بهینه سازی چند هدفه با در نظر گرفتن کاهش زمان اجرای سیستم و مصرف انرژی برای مسأله ی زمان بندی وظیفه در رایانش مه پیشنهاد شده است. نویسندگان به منظور یافتن یک استراتژی بهینه برای تخصیص وظایف در میان منابع مه در دسترس، یک رویکرد بهینه سازی با نام بهینه سازی جفت گیری مورچه<sup>۳۹</sup>، توسعه داده اند. در [۲۸]، یک رویکرد بهینه سازی جدید با نام الگوریتم زندگی زنبورها<sup>۴۰</sup> برای مسأله ی زمان بندی کار در محیط رایانش مه، ارائه شده است که هدف آن، یافتن یک موازنه بین زمان اجرای CPU و حافظه ی تخصیص یافته برای کارها می باشد. مقاله

[۲۹]، یک روش زمان بندی وظیفه مبتنی بر الگوریتم ژنتیک-بهینه سازی کلونی مورچه هیبریدی<sup>۴۱</sup> برای اداره کردن درخواست های کاربر در محیط ابر ارائه داده است، که اهداف آن، کاهش زمان پاسخ و تکمیل وظیفه و بهبود بازدهی می باشد. در [۳۰]، یک طرح تخلیه بار محاسباتی در شبکه ی IoT مبتنی بر مه ارائه شده است که اهداف آن، ایجاد موازنه بین کاهش زمان تکمیل وظیفه و مصرف انرژی دستگاه های هوشمند می باشد. طرح تخلیه بار محاسباتی پیشنهادی به صورت یک مسأله ی برنامه ریزی غیر خطی عدد صحیح مختلط<sup>۴۲</sup> مدل شده است و یک الگوریتم هیبریدی که مزایای الگوریتم ژنتیک و الگوریتم بهینه سازی ازدحام ذرات (PSO)<sup>۴۳</sup> را به کار می گیرد برای دستیابی به سیاست تخلیه بار بهینه پیشنهاد شده است. [۳۱]، مسأله ی مشترک مدیریت جریان داده و استقرار سرویس را در نظر می گیرد که هدف آن، کاهش هزینه ی استقرار و تاخیر سرویس می باشد. برای حل مسأله و دستیابی به راه حل ممکن، یک الگوریتم چند هدفه مبتنی بر ACO پیشنهاد شده است که دارای تنوع و دقت بالای راه حل است. در مقاله ی [۳۲] بر مسأله ی زمان بندی وظیفه تمرکز شده که اهداف آن حداقل کردن حافظه ی تخصیص یافته و زمان اجرای CPU است. برای حل این مسأله، الگوریتم جستجوی ممنوع<sup>۴۴</sup> استفاده شده که مزیت های الگوریتم بهینه سازی مگس میوه<sup>۴۵</sup> و نزدیک ترین همسایه ی تقریبی<sup>۴۶</sup> را برای بهبود توانایی جستجوی TSA ترکیب می کند. پژوهشگران در [۳۳]، یک الگوریتم زمان بندی ترکیبی در محیط ابر ارائه کرده اند که از الگوریتم جستجوی سنجاب (SSA)<sup>۴۷</sup> موازی و سیستم استنتاج فازی، برای تخصیص وظایف به ماشین های مجازی استفاده می کند. اهداف در نظر گرفته شده، انرژی، زمان اجرای کل و میزان امنیت می باشد. با تمرکز بر مسأله ی زمان بندی وظایف در محاسبات ابری، [۳۴] یک الگوریتم زمان بندی کار ترکیبی جدید به نام بهینه سازی ازدحام جزئی واکنش شیمیایی<sup>۴۸</sup> پیشنهاد می دهد که مزایای الگوریتم بهینه سازی واکنش های شیمیایی کلاسیک و بهینه سازی ازدحام جزئی را ترکیب می کند و کیفیت راه حل را از نظر اهدافی مانند هزینه، انرژی و زمان بهبود می دهد.

## ۲-۳- زمان بندی وظایف مبتنی بر روش های بهینه سازی در

محیط ترکیبی مه-ابر

نویسندگان [۱۶]، بر مسأله ی زمان بندی وظیفه در محیط ابر-مه با در نظر گرفتن محدودیت مهلت زمانی تمرکز کرده اند. سیاست زمان بندی وظیفه ی پیشنهادی، الگوریتم اولویت مبتنی بر سستی (LBPA)<sup>۴۹</sup> و الگوریتم بهینه سازی کلونی مورچه (ACO)<sup>۵۰</sup> را ترکیب می کند. برای محاسبه ی اولویت وظایف، LBPA، محدودیت مهلت زمانی وظیفه را در نظر می گیرد و بر این اساس، صف وظایف

در این کار هم برای حل مسأله‌ی بهینه‌سازی چند هدفه از الگوریتم بهینه‌سازی تک هدفه استفاده شده و نویسندگان مصرف انرژی را در نظر نمی‌گیرند.

تعداد کمی از کارهای انجام‌شده، مشارکت و یکپارچه کردن محیط ابر و مه را در نظر می‌گیرند. از طرفی، بیشتر رویکردهای موجود، یک الگوریتم بهینه‌سازی پارتو را برای حل مسأله‌ی زمان‌بندی وظیفه‌ی چند هدفه به کار نمی‌گیرند. علاوه‌براین، اغلب رویکردها، زمان‌بندی ایستار را در نظر گرفته‌اند که وظایف به طور همزمان تولید می‌شوند که چنین رویکردهایی نمی‌تواند واقعیت را منعکس کند. همچنین، بیشتر این رویکردها، از روشی برای برآورده کردن قیود مسأله استفاده نمی‌کنند. در نتیجه، در این کار، یک الگوریتم زمان‌بندی وظیفه، در محیط دینامیک ابر-مه پیشنهاد شده که حداقل کردن زمان پاسخ سرویس و مصرف انرژی با محدودیت مهلت زمانی را در نظر می‌گیرد. برای دستیابی به این هدف، از الگوریتم NSGA-II استفاده شده‌است. علاوه‌براین، رویکردی مبتنی بر تابع جریمه برای اداره کردن راه‌حل‌های غیر ممکن که قیود مسأله را برآورده نمی‌کنند، به کار گرفته شده‌است.

### ۳- مدل سیستم

ما یک شبکه شهر هوشمند مبتنی بر مه، مشابه با شکل ۱ در نظر گرفته‌ایم. این معماری مطابق با معماری ارائه شده در [۲] است، با این حال، ما یک لایه بیشتر با نام لایه‌ی لبه در نظر گرفته‌ایم. همان‌طور که در شکل ۱ مشاهده می‌شود، معماری دارای چهار لایه‌ی دستگاه‌های هوشمند، لبه، مه و ابر می‌باشد. لایه‌ی دستگاه‌های هوشمند متشکل از مجموعه‌ی D دستگاه هوشمند است که به صورت  $D = \{1, 2, \dots, D\}$  نشان داده می‌شود و شامل حسگرها، دستگاه‌های موبایل و غیره است که مجهز به تکنولوژی‌های ارتباطات مختلف هستند و توان محاسباتی و باتری محدودی دارند. این دستگاه‌ها وظایفی را تولید می‌کنند که باید در گره‌های محاسباتی موجود در لایه‌ی مه و ابر پردازش شوند. لایه‌ی لبه، مرز بین لایه‌ی دستگاه‌های هوشمند و لایه‌ی مه می‌باشد. در این لایه سرورهایی مستقر هستند که میزبان زمان‌بندی هستند که وظیفه‌ی زمان‌بندی وظایف دریافت‌شده از لایه‌ی دستگاه و تخصیص آن‌ها به گره‌های محاسباتی مناسب را بر عهده دارند. به منظور کاهش تاخیر و مصرف انرژی دستگاه‌های IoT، ما فرض می‌کنیم که این سرورها نزدیک به دستگاه‌های IoT و در فاصله‌ی یک هاپ از آن‌ها قرار دارند. این سرورها با منابع محاسباتی محدودی در نظر گرفته شده‌اند، بنابراین تنها تابع زمان‌بندی پیشنهادی بر روی آن‌ها اجرا می‌شود و قادر به اجرای وظایف محاسباتی ارسال شده از

را مرتب می‌کند. سپس، برای دستیابی به سیاست زمان‌بندی وظیفه‌ی بهینه، الگوریتم ACO با هدف کاهش مصرف انرژی کل، به کار گرفته شده‌است. با این حال این کار یک مسأله‌ی بهینه‌سازی تک‌هدفه را در نظر می‌گیرد. همچنین زمان‌بندی به صورت ایستا<sup>۵۱</sup> در نظر گرفته شده و وظایف به طور همزمان تولید می‌شوند که به دور از واقعیت است. از طرفی نویسندگان، الگوریتم پیشنهادیشان را بر روی مجموعه داده کوچکی ارزیابی می‌کنند. پژوهشگران در [۳۵]، یک الگوریتم زمان‌بندی وظیفه در محیط ابر-مه بر اساس بهینه‌سازی مبتنی بر اکوسیستم مصنوعی<sup>۵۲</sup>، پیشنهاد کرده‌اند که هدف آن حداقل کردن زمان پاسخ می‌باشد. در این کار، از توانایی بهره‌برداری بالای الگوریتم ازدحام سالپ<sup>۵۳</sup> برای بهبود رفتار همگرایی روش پیشنهادی استفاده شده‌است. در این کار هم یک مسأله‌ی بهینه‌سازی تک‌هدفه در نظر گرفته شده و به اهدافی مانند انرژی توجهی نشده‌است. علاوه‌براین، مسأله‌ی زمان‌بندی به صورت ایستا می‌باشد. نویسندگان در [۳۶]، با در نظر گرفتن اهداف زمان اجرا و هزینه‌های عملیاتی، یک رویکرد جدید برای مسأله‌ی زمان‌بندی وظایف در محیط مه-ابر ارائه داده‌اند و یک الگوریتم زمان‌بندی آگاه از زمان-هزینه بر مبنای الگوریتم ژنتیک توسعه داده‌اند، که به کاربران مختلف، انعطاف‌پذیری لازم به منظور اولویت‌دهی بین زمان اجرا و هزینه ارائه می‌شود. با این حال در این کار برای حل مسأله‌ی بهینه‌سازی چند هدفه از الگوریتم بهینه‌سازی تک‌هدفه استفاده شده‌است و توجهی به مصرف انرژی سیستم نشده‌است. مقاله [۳۷]، یک مسأله‌ی زمان‌بندی وظیفه را به صورت یک مسأله‌ی بهینه‌سازی چند هدفه در محیط ابر-مه فرموله می‌کند. اهداف مورد نظر در این کار، کاهش زمان اجرا و هزینه‌های کل هستند. به منظور دستیابی به استراتژی زمان‌بندی بهینه، نویسندگان از الگوریتم NSGA-II استفاده کرده‌اند که اپراتورهای تقاطع و جهش گسسته را به جای اپراتورهای پیوسته به کار می‌گیرد. این روش تولید مثل اشخاص<sup>۵۴</sup>، منجر به کشف بیشتر فضای جستجو می‌شود. با این حال در این کار یک زمان‌بندی ایستا در نظر گرفته شده است و فقط به پیاده‌سازی مدل ریاضی در متلب اکتفا شده است. همچنین به مصرف انرژی سیستم توجهی نشده و محدودیت‌های مهلت زمانی در مسأله در نظر گرفته نشده‌است و از یک روش تصادفی برای مقداردهی اولیه جمعیت استفاده شده که احتمال پوشش کامل فضای جستجو را کاهش می‌دهد. [۳۸]، مسأله‌ی زمان‌بندی وظیفه در محیط ابر-مه را در نظر می‌گیرد و یک الگوریتم هیبریدی مبتنی بر SSA و علف هرز مهاجم<sup>۵۵</sup> برای تخصیص وظایف تولید شده به گره‌های مه و ابر مناسب پیشنهاد می‌دهد که هدف آن ایجاد موازنه بین اهداف زمان و هزینه می‌باشد.

می‌باشد. هر وظیفه  $t_i$  به صورت یک تاپل  $(ts_i, cr_i, dl_i, pr_i)$  مدل شده‌است که  $ts_i$  نشان‌دهنده‌ی سایز داده‌ی ورودی،  $cr_i$  نشان‌دهنده‌ی نیازمندی‌های محاسباتی وظیفه،  $dl_i$  نشان‌دهنده‌ی مهلت زمانی وظیفه و  $pr_i$  نشان‌دهنده‌ی اولویت وظیفه است که با توجه به مهلت زمانی وظیفه تعیین می‌شود. در طرح ما فرض بر این است که برخی وظایف حساس به تاخیر هستند، بنابراین، به این وظایف اولویت بالاتری جهت پردازش ارائه می‌شود. نمادهایی که در این مقاله استفاده شده‌است، در جدول ۱ خلاصه شده‌اند.

جدول ۱: نمادهای استفاده شده در روش پیشنهادی.

نماد	مفهوم
D	مجموعه‌ای از دستگاه‌های هوشمند
K	مجموعه‌ی گره‌های مه
$ts_i$	سایز وظیفه‌ی ورودی
$cr_i$	نیازمندی‌های محاسباتی وظیفه
$dl_i$	مهلت زمانی وظیفه
$pr_i$	اولویت وظیفه
$LR_j$	نرخ انتقال لینک
$LPL_j$	طول لینک فیزیکی
$PS_j$	سرعت انتشار لینک
$PR_j$	نرخ پردازش گره‌ی محاسباتی
$TP_j$	توان انتقال گره
$CP_j$	توان پردازش گره
$p_s$	سایز جمعیت
$p_c$	احتمال تقاطع
$p_m$	احتمال جهش
maxIter	حداکثر تعداد تکرار

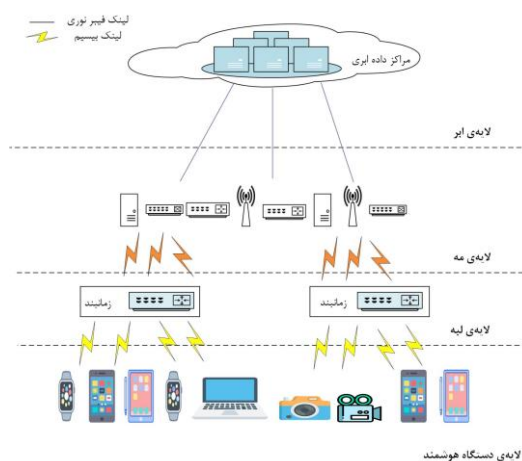
### ۳-۱- مدل محاسباتی

از آن‌جا که تمرکز اصلی این مقاله، حداقل‌سازی تاخیر پاسخ سرویس و مصرف انرژی کل سیستم است، در ادامه به نحوه‌ی محاسبه‌ی این موارد خواهیم پرداخت.

در این مقاله، تاخیر پاسخ سرویس مطابق با تعریف ارائه‌شده در [۴۰] در نظر گرفته شده‌است که در آن تاخیر سرویس برای یک درخواست برابر است با فاصله‌ی زمانی بین لحظه‌ای که دستگاه هوشمند درخواست را ارسال می‌کند و هنگامی که پاسخ آن درخواست را دریافت می‌کند که این تاخیر شامل تاخیر پردازش<sup>۵۶</sup>، تاخیر انتقال<sup>۵۷</sup>، تاخیر انتشار<sup>۵۸</sup> و تاخیر صف<sup>۵۹</sup> می‌باشد. بنابراین، تاخیر پاسخ سرویس برای  $t_i$ ، با استفاده از رابطه‌ی (۱) محاسبه می‌شود.

$$SRT_i^j = TD_i^j + PD_i^j + CD_i^j + WT_i^j \quad (1)$$

سمت دستگاه‌های IoT نیستند. پس از اجرای تابع زمان‌بند، وظایف به گره‌های محاسباتی مورد نظر در لایه‌ی مه و ابر ارسال می‌شوند. بر اساس [۳۹]، به طور کلی دو رویکرد مختلف متمرکز و توزیع‌شده برای کنترل استراتژی زمان‌بندی وظایف وجود دارد. در حالت متمرکز یک سرور مرکزی وجود دارد که با اجرای تابع زمان‌بند، تصمیم‌گیری را انجام می‌دهد و گره‌های محاسباتی مناسب را به وظایف بر اساس نیازمندی‌های آن‌ها اختصاص می‌دهد. در حالت توزیع‌شده، هر دستگاه هوشمند با تعامل با سایر گره‌ها، گره‌ی مناسب جهت انجام وظیفه را تعیین می‌کند. در این مقاله، ما رویکرد متمرکز را به منظور اجرای طرح زمان‌بندی به کار گرفته‌ایم. لایه‌ی مه، متشکل از مجموعه‌ی K از گره‌های مه توزیع‌شده و ناهمگن است که دارای قابلیت‌های پردازشی و ذخیره‌سازی مختلفی هستند و به صورت  $K = \{1, 2, \dots, K\}$  نشان داده می‌شود. هر گره‌ی مه به صورت  $\langle f, HC \rangle$  مدل شده‌است که f نشان‌دهنده‌ی شناسه گره مه و HC نشان‌دهنده‌ی قابلیت‌های محاسباتی گره می‌باشد. قابلیت‌های محاسباتی گره به صورت تاپل (PR, CP, TP) است، که در آن، PR، CP و TP، به ترتیب نشان‌دهنده‌ی فرکانس CPU گره، توان محاسباتی و توان انتقال می‌باشد. در نهایت، در لایه‌ی ابر مراکز داده‌ی ابری مستقر هستند. هر مرکز داده‌ی ابری به صورت  $\langle c, HC \rangle$  نشان داده می‌شود که در آن، c نشان‌دهنده‌ی شناسه‌ی مرکز داده‌ی ابری و HC نشان‌دهنده‌ی قابلیت‌های سخت‌افزاری آن است که با استفاده از یک تاپل مشابه با قابلیت‌های محاسباتی گره مه نمایش داده می‌شود.



شکل ۱: مدل سیستم شامل لایه دستگاه‌های هوشمند، لایه مه، لایه مه، لایه ابر.

هر دستگاه IoT، مجموعه‌ای از وظایف محاسباتی را تولید می‌کند که به صورت  $T = \{t_1, t_2, \dots, t_n\}$  نشان داده می‌شود، که در آن n نشان‌دهنده‌ی تعداد کل وظایف تولید شده در لایه‌ی دستگاه

در رابطه‌ی (۷)،  $TP_j$  نشان‌دهنده‌ی توان انتقال در مسیر گره‌ی محاسباتی  $z$  می‌باشد. علاوه‌براین، انرژی مصرف‌شده توسط گره‌ی محاسباتی  $z$  برای پردازش وظیفه‌ی  $i$  با استفاده از رابطه‌ی (۸) محاسبه می‌شود:

$$CEC_i^j = CD_i^j \times CP_j \quad (۸)$$

که در این رابطه،  $CP_j$  نشان‌دهنده‌ی توان محاسباتی گره محاسباتی  $z$  می‌باشد.

### ۳-۲- فرموله‌سازی مسأله‌ی حداقل‌سازی تاخیر و مصرف انرژی سیستم

در این بخش، با توجه به مدل محاسباتی ذکر شده در بخش قبلی، مسأله‌ی زمان‌بندی وظیفه به صورت یک مسأله‌ی بهینه‌سازی چند هدفه فرموله شده‌است. هدف مسأله‌ی بهینه‌سازی فرموله‌شده، تخصیص وظایف به گره‌های محاسباتی مختلف در لایه‌ی مه و ابر است، به طوری که تاخیر سرویس و مصرف انرژی کل سیستم حداقل شود. مطابق با مدل سیستم، مسأله‌ی بهینه‌سازی به صورت زیر فرموله شده‌است:

$$Objective1 : Minimize_s \sum_{j=1}^M \sum_{i=1}^N SRT_i^j \quad (۹)$$

$$Objective2 : Minimize_s \sum_{j=1}^M \sum_{i=1}^N SEC_i^j \quad (۱۰)$$

به شرطی که:

$$S = \langle s_{ij} \rangle_{i \in N, j \in M} \quad (۱۱)$$

$$s_{ij} \in \{0, 1\}, i \in N, j \in M \quad (۱۲)$$

$$\sum_{j=1}^M s_{ij} = 1, \forall i \in N \quad (۱۳)$$

$$SRT_i^j \leq dl_i, \forall i \in N, \forall j \in M \quad (۱۴)$$

قیود (۱۱) و (۱۲) بیان می‌کنند که تعداد  $N \times M$  متغیر تصمیم‌گیری در ماتریس  $S$  وجود دارد که در آن،  $N$  تعداد وظایف و  $M$  تعداد گره‌های محاسباتی می‌باشد و مقادیر این متغیرها باینری هستند. قید (۱۳) تضمین می‌کند که هر وظیفه، فقط به یک گره‌ی محاسباتی اختصاص داده می‌شود. در نهایت، قید (۱۴) نشان می‌دهد که وظیفه‌ی  $i$  باید قبل از مهلت زمانیش، تکمیل شده باشد.

### ۴- روش پیشنهادی

همانطور که قبلاً ذکر شد، اهداف مسأله بهینه‌سازی در این مقاله، حداقل‌سازی تاخیر سرویس و مصرف انرژی کل سیستم است. زمان‌بندی وظیفه به عنوان یک مسأله‌ی NP-hard در نظر گرفته می‌شود. در مسائل NP-hard، با افزایش سایز مسأله، پیچیدگی مسأله به صورت نمایی رشد می‌کند، بنابراین، راه‌حل‌های دقیق برای این مسائل مناسب نیستند [۴۰]. با انگیزه‌ی آنچه بیان شد، ما در این مقاله، یک روش زمان‌بندی وظیفه‌ی مبتنی بر NSGA-II پیشنهاد می‌دهیم.

در رابطه‌ی (۱)،  $SRT_i^j$  نشان‌دهنده‌ی تاخیر پاسخ سرویس،  $TD_i^j$  نشان‌دهنده‌ی تاخیر انتقال،  $PD_i^j$  نشان‌دهنده‌ی تاخیر انتشار،  $CD_i^j$  نشان‌دهنده‌ی تاخیر پردازش و  $WT_i^j$  نشان‌دهنده‌ی تاخیر صف می‌باشد. تاخیر انتقال برای ارسال وظیفه‌ی  $i$  به گره‌ی محاسباتی  $z$  به صورت زیر محاسبه خواهد شد.

$$TD_i^j = \sum_{h=1}^n \frac{ts_i}{LR_j} \quad (۲)$$

در رابطه‌ی (۲)،  $ts_i$  نشان‌دهنده‌ی سایز وظیفه،  $h$  نشان‌دهنده‌ی تعداد هاپ از دستگاه تولید کننده‌ی وظیفه به گره‌ی محاسباتی مورد نظر و  $LR_j$  نرخ انتقال لینک در مسیر گره‌ی محاسباتی  $z$  می‌باشد.

برای محاسبه‌ی تاخیر انتشار از رابطه زیر استفاده شده‌است:

$$PD_i^j = \sum_{h=1}^n \frac{LPL_j}{PS_j} \quad (۳)$$

در رابطه‌ی (۳)،  $LPL_j$  و  $PS_j$ ، به ترتیب طول لینک فیزیکی و سرعت انتشار لینک در مسیر گره‌ی محاسباتی  $z$  می‌باشد.

به منظور محاسبه‌ی تاخیر پردازش هر وظیفه از رابطه‌ی (۴) استفاده شده‌است:

$$CD_i^j = \frac{\lambda ts_i}{PR_j} \quad (۴)$$

در رابطه‌ی (۴)،  $CD_i^j$  تاخیر پردازش وظیفه‌ی  $i$  در گره‌ی محاسباتی  $z$  را نشان می‌دهد.  $\lambda$  چرخه‌ی CPU مورد نیاز برای پردازش یک بیت از وظیفه و  $PR_j$  نرخ پردازش برای گره‌ی محاسباتی  $z$  می‌باشد.

تاخیر صف برابر است با مجموع تاخیر پردازش تعداد وظایف موجود در صف گره‌ی محاسباتی  $z$  و با استفاده از رابطه‌ی (۵) محاسبه می‌شود:

$$WT_i^j = \sum_{l=1}^n CD_l^j \quad (۵)$$

در این رابطه،  $n$  نشان‌دهنده‌ی تعداد وظایف موجود در صف گره‌ی محاسباتی  $z$  می‌باشد.

مصرف انرژی کل سیستم برابر است با مجموع انرژی مصرف شده برای انتقال وظایف به گره‌ی محاسباتی  $z$  و انرژی مصرف شده توسط گره‌ی محاسباتی  $z$  به منظور پردازش وظیفه‌ی دریافت شده که مطابق با رابطه‌ی (۶) می‌باشد:

$$SEC_i^j = TEC_i^j + CEC_i^j \quad (۶)$$

در رابطه‌ی (۶)،  $SEC_i^j$  نشان‌دهنده‌ی انرژی مصرف‌شده برای انتقال و پردازش وظیفه‌ی  $i$ ،  $TEC_i^j$  نشان‌دهنده‌ی انرژی مصرف‌شده برای انتقال وظیفه‌ی  $i$  به گره‌ی محاسباتی  $z$  و  $CEC_i^j$  نشان‌دهنده‌ی انرژی مصرف‌شده توسط گره‌ی محاسباتی  $z$  برای پردازش وظیفه‌ی  $i$  می‌باشد. انرژی مصرف شده برای انتقال وظیفه  $i$  به گره‌ی محاسباتی  $z$  با استفاده از رابطه‌ی (۷) محاسبه شده‌است:

$$TEC_i^j = \sum_{h=1}^n (ts_i \times TP_j) / LR_j \quad (۷)$$



#### ۴-۱- طرح زمان بندی وظیفه مبتنی بر NSGA-II

در این بخش، مدل زمان بندی وظیفه پیشنهادی، با استفاده از الگوریتم NSGA-II [۱۹]، توضیح داده شده است. NSGA-II، یک الگوریتم قدرتمند برای حل مسائل چند هدفه‌ی تکاملی است که از مفهوم غلبه<sup>۶۰</sup> برای تقریب زدن مجموعه‌ای از راه حل‌های نامغلوب<sup>۶۱</sup> استفاده می‌کند [۴۱]. راه حل  $s_1$ ، راه حل  $s_2$  را مغلوب می‌کند، در صورتی که مقادیر همه‌ی توابع هدف در راه حل  $s_1$  بهتر از مقادیر توابع هدف راه حل  $s_2$  باشد. علاوه بر این، راه حل  $k_1$ ، راه حل  $s_2$  را مغلوب نمی‌کند، در صورتی که  $s_2$  حداقل یک هدف با مقدار بهتر داشته باشد. بنابراین، راه حل‌های جمعیت<sup>۶۲</sup> به صورت راه حل‌های غالب و مغلوب دسته بندی می‌شوند. جبهه‌ی<sup>۶۳</sup> پارتوی بهینه، به صورت مجموعه‌ای از راه حل‌ها تعریف می‌شود که توسط هیچ راه حل دیگری مغلوب نشوند. بنابراین، راه حل‌های موجود در جبهه‌ی پارتو، قادرند یک یا چند هدف را بهینه کنند. ویژگی‌های اصلی الگوریتم NSGA-II عبارتند از [۳۷]: (۱) استفاده از روشی به منظور مرتب سازی سریع راه حل‌های نامغلوب، (۲) استفاده از روشی برای تخمین تراکم<sup>۶۴</sup> راه حل‌ها و (۳) استفاده از روشی به منظور انتخاب والدین<sup>۶۵</sup> برای تولید فرزندان<sup>۶۶</sup>. در مسأله‌ی زمان بندی وظیفه، اشخاص جمعیت، راه حل‌های در دسترس برای مسأله هستند. در مسأله‌ی زمان بندی پیشنهادی در این مقاله، هر راه حل جمعیت، طرح تخصیص وظایف به گره‌های مه و ابر را نشان می‌دهد. راه حل‌هایی که قادرند محدودیت‌ها را برآورده کنند به عنوان راه حل‌های ممکن برای مسأله در نظر گرفته می‌شوند.

در رویکرد پیشنهادی، زمان بند با دریافت تعداد مشخصی وظیفه از گره‌های IoT، تابع زمان بند را اجرا می‌کند. در ابتدا، زمان بند با ترکیب روش نگاشت بی‌نظمی و یادگیری مبتنی بر تضاد تعداد مشخصی راه حل را با توجه به سائز جمعیت<sup>۶۷</sup> تولید می‌کند. پس از آن، مقادیر توابع هدف به ازای همه‌ی راه حل‌ها محاسبه می‌شوند. سپس، براساس مقادیر تابع هدف، راه حل‌ها با استفاده از رویکرد مرتب سازی نامغلوب سریع<sup>۶۸</sup>، رتبه بندی<sup>۶۹</sup> می‌شوند. پس از محاسبه‌ی رتبه‌ی راه حل‌ها، معیار فاصله‌ی ازدحامی به منظور ایجاد تمایز بین راه حل‌ها با رتبه‌ی یکسان محاسبه می‌شود. راه حل‌ها با مقادیر فاصله‌ی ازدحامی بیشتر، دارای اولویت بالاتری در نظر گرفته می‌شوند به این دلیل که این راه حل‌ها می‌توانند منجر به تنوع بیشتر راه حل‌های مسأله شوند. با توجه به دو معیار رتبه بندی و فاصله‌ی ازدحامی، والدین برای تولید راه حل‌های جدید انتخاب می‌شوند و اپراتورهای تقاطع و جهش بر روی آن‌ها اعمال می‌شود. سپس، ممکن بودن این راه حل‌ها با توجه به قیود در نظر گرفته شده بررسی می‌شوند و مقادیر تابع هدف با در نظر گرفتن جریمه برای

راه حل‌های غیر ممکن محاسبه می‌شود. این فرآیند تا زمانی که معیار خاتمه برآورده نشده باشد، تکرار می‌شود. پس از برآورده شدن معیار خاتمه، تابع زمان بند، مجموعه‌ای از راه حل‌های نامغلوب را به عنوان راه حل‌های مسأله تعیین می‌کند. با توجه به بهترین راه حل، زمان بند وظایف را به گره‌های محاسباتی مورد نظر ارسال می‌کند. پس از اجرای وظایف توسط گره‌های محاسباتی، نتایج به گره‌های IoT منبع برگردانده می‌شود. طرح زمان بندی وظیفه پیشنهادی در الگوریتم ۱ ارائه شده است. در ادامه، مولفه‌های مدل در جزئیات بیشتری توضیح داده خواهند شد.

#### الگوریتم ۱: زمان بندی وظیفه مبتنی بر NSGA-II

ورودی:  $p_m, \maxIter, p_s$

خروجی: مجموعه راه حل‌های نامغلوب

- ۱: جمعیت اولیه با سائز  $p_s$  را با استفاده از روش ترکیبی نگاشت بی‌نظمی و یادگیری مبتنی بر تضاد تولید نمایید.
- ۲: مقدار هزینه‌ی اعضای جمعیت را با استفاده از رابطه‌ی (۹) و (۱۰) محاسبه کنید.
- ۳: با توجه به هزینه‌ی اعضای جمعیت، با استفاده از تابع مرتب سازی نامغلوب سریع، جبهه‌ای که هر عضو به آن متعلق است، مشخص نمایید.
- ۴: فاصله‌ی ازدحامی را برای اعضای موجود در هر جبهه محاسبه نمایید.
- ۵: آغاز حلقه‌ی اول: برای  $i = 1$  تا  $\maxIter$  انجام دهید:
- ۶: آرایه‌ی خالی  $p_{off}$  را برای ذخیره‌ی جمعیت فرزندان ایجاد نمایید.
- ۷: آغاز حلقه‌ی دوم: برای  $j = 1$  تا  $p_s$  انجام دهید:
- ۸: والد اول را با استفاده از چرخه‌ی رولت انتخاب نمایید.
- ۹: والد دوم را با استفاده از چرخه‌ی رولت انتخاب نمایید.
- ۱۰: اپراتور تقاطع دو نقطه‌ای را بر روی والد اول و دوم اعمال و فرزند اول و دوم را ایجاد نمایید.
- ۱۱: یک عدد تصادفی ایجاد نمایید.
- ۱۲: آغاز شرط اول: اگر عدد تصادفی کوچکتر از  $p_m$  است:
- ۱۳: اپراتور جهش را بر روی فرزند اول و دوم اعمال کنید.
- ۱۴: پایان شرط اول.
- ۱۵: فرزند اول و دوم را در آرایه‌ی  $p_{off}$  ذخیره کنید.
- ۱۶: پایان حلقه‌ی دوم.
- ۱۷: مقدار هزینه‌ی جمعیت فرزندان  $p_{off}$  را با استفاده از رابطه‌ی (۹) و (۱۰) محاسبه کنید.
- ۱۸: جمعیت فرزندان  $p_{off}$  و جمعیت نسل قبل را ادغام نمایید.
- ۱۹: جبهه‌های جمعیت ادغام شده را تعیین کنید.
- ۲۰: فاصله‌ی ازدحامی اعضای هر جبهه‌ی جمعیت ادغام شده را محاسبه نمایید.
- ۲۱: جمعیت ادغام شده را بر اساس جبهه‌ها و فاصله‌ی ازدحامی مرتب کنید.
- ۲۲: به تعداد  $p_s$  عضو از جمعیت مرتب شده را به عنوان جمعیت جدید انتخاب نمایید.
- ۲۳: پایان حلقه‌ی اول.
- ۲۴: اعضای جبهه‌ی پارتو را به عنوان راه حل‌های بهینه‌ی مسأله، تعیین نمایید.

#### ۴-۱-۱- مقداردهی اولیه جمعیت

مقداردهی اولیه جمعیت، یکی از گام‌های مهم در الگوریتم‌های تکاملی است که معمولاً به صورت تصادفی اجرا می‌شود. با این حال، این گام تاثیر قابل توجهی بر روی کیفیت راه‌حل، سرعت همگرایی و کاهش تلاش‌های محاسباتی دارد. مشکل مقداردهی اولیه تصادفی این است که با توجه به محدود بودن سائز جمعیت، با افزایش در تعداد ابعاد فضای جستجو، احتمال پوشش نواحی امیدوارکننده در فضای جستجو کاهش می‌یابد. بنابراین، به منظور کمک به الگوریتم‌های تکاملی برای دستیابی به راه‌حل بهتر، یک تکنیک مقداردهی اولیه مناسب باید به کار گرفته شود. تکنیک نگاشت بی‌نظمی برای تولید اعداد استفاده می‌شود. انواع مختلف نگاشت بی‌نظمی شامل نگاشت منطقی<sup>۷۰</sup>، نگاشت تکراری<sup>۷۱</sup> و غیره است که می‌توان برای تولید جمعیت اولیه از آن‌ها استفاده کرد. عملکرد الگوریتم‌های تکاملی از لحاظ تنوع جمعیت، سرعت همگرایی و فرار از بهینه‌ی محلی با استفاده از این نگاشت‌ها بهبود می‌یابد [۴۲]. از طرفی مفهوم یادگیری مبتنی بر تضاد [۴۳] برای بهبود قابلیت‌های اکتشاف الگوریتم‌های بهینه‌سازی استفاده می‌شود. در نظر گرفتن یک راه‌حل و متضاد آن می‌تواند به کشف راه‌حل بهینه سرعت بخشد و دقت راه‌حل را بهبود دهد. بنابراین، در این مقاله از ترکیب روش نگاشت بی‌نظمی و یادگیری مبتنی بر تضاد برای تولید جمعیت اولیه استفاده شده‌است. ساختار یک راه‌حل در شکل ۲ نشان داده شده‌است. هر شخص در جمعیت، نشان‌دهنده‌ی یک راه‌حل برای مسأله‌ی زمان‌بندی است که به صورت یک آرایه‌ی دو بعدی  $N \times M$  از عناصر  $s_{ij}$  با مقادیر باینری نشان داده می‌شود، که در آن،  $N$  نشان‌دهنده‌ی تعداد وظایف است که باید زمان‌بندی شوند و  $M$  نشان‌دهنده‌ی تعداد کل گره‌های محاسباتی موجود است که برابر است با مجموع گره‌های مه و مراکز داده‌ی ابری. در صورتی که، وظیفه‌ی  $i$  به گره‌ی محاسباتی  $j$  اختصاص داده شود، مقدار  $s_{ij}$  برابر با یک و در غیر این صورت، مقدار آن برابر با صفر است. سائز جمعیت، تعداد راه‌حل‌های تولید شده در جمعیت را نشان می‌دهد. در ابتدا، دنباله‌های بی‌نظمی توسط نگاشت منطقی و با استفاده از رابطه (۱۵) تولید می‌شوند:

$$Z_{(I+1)} = a \times Z_I \times (1 - Z_I) \quad (15)$$

که در آن،  $Z_0$  به صورت تصادفی انتخاب می‌شود،  $I, Z_I \in (0,1)$  تعداد تکرار بی‌نظمی است و  $a \in (0,4]$ . رفتار نگاشت منطقی با استفاده از پارامتر  $a$  کنترل می‌شود. از آنجا که نگاشت منطقی در مقدار  $a = 4$  رفتار بی‌نظمی جامعی را نشان می‌دهد، برای پارامتر  $a$  مقدار ۴ را در نظر گرفته‌ایم [۴۳]. بعد از تولید جمعیت اولیه با

استفاده از نگاشت منطقی، متضاد هر راه‌حل با استفاده از معادله‌ی (۱۶) محاسبه می‌شود:

$$s_{ij}^o = s_{ij}^{up} + s_{ij}^{lb} - s_{ij} \quad (16)$$

که در آن،  $s_{ij}^o$  عنصر آمین سطر و آمین ستون راه‌حل متضاد  $S^o$  است.  $s_{ij}^{lb}$  و  $s_{ij}^{up}$  به ترتیب حد بالا و حد پایین راه‌حل هستند. علاوه‌براین،  $s_{ij}$  نشان‌دهنده‌ی عنصر آمین سطر و آمین ستون راه‌حل  $S$  است. سپس، راه‌حل با مقادیر پیوسته به راه‌حل‌های باینری تبدیل می‌شوند. برای انجام این کار، حداکثر مقدار هر سطر ماتریس برابر با یک و سایر مقادیر به صفر تنظیم می‌شوند. بعد از آن، مقادیر هزینه‌ی راه‌حل و متضاد آن محاسبه می‌شوند و راه‌حلی که کمترین مقدار هزینه را دارد، به عنوان جمعیت اولیه انتخاب می‌شود.

		Computing nodes				
		$cn_1$	$cn_2$	$cn_3$	...	$cn_m$
Tasks	$t_1$	0	0	1	...	0
	$t_2$	1	0	0	...	0
	$t_3$	0	0	0	...	1
	...	...	...	...	...	...
	$t_n$	0	1	0	...	0

شکل ۲: ساختار راه‌حل زمان‌بند پیشنهادی به صورت ماتریس  $N \times M$  که  $N$  تعداد وظایف و  $M$  تعداد کل گره‌های محاسباتی است.

#### ۴-۱-۲- محاسبه‌ی مقدار هزینه هر راه‌حل

با ارزیابی کیفیت اشخاص موجود در جمعیت، می‌توان در مورد اینکه کدام راه‌حل‌ها از جمعیت حذف شوند و کدام راه‌حل‌ها برای نسل<sup>۷۲</sup> بعدی حفظ شوند، تصمیم‌گیری کرد. در این مقاله، مقادیر هزینه‌ی هر راه‌حل با استفاده از دو تابع هدف ارزیابی می‌شوند: (۱) تاخیر سرویس و (۲) مصرف انرژی کل سیستم، که به ترتیب با استفاده از روابط (۹) و (۱۰) محاسبه می‌شوند.

#### ۴-۱-۳- مرتب‌سازی جمعیت با استفاده از مقادیر تابع هدف

در NSGA-II برای مرتب‌سازی راه‌حل‌های جمعیت، از مکانیسم مرتب‌سازی نامغلوب سریع<sup>۷۳</sup>، استفاده می‌شود [۱۹]. در این روش، به هر راه‌حل  $s_i$  در جمعیت، یک مقدار عدد صحیح<sup>۷۴</sup> و یک مجموعه<sup>۷۵</sup> اختصاص داده می‌شود. بر این اساس، هر راه‌حل  $s_i$  با سایر راه‌حل‌ها در جمعیت، از لحاظ رابطه‌ی غلبه مقایسه می‌شود. در صورتی که، راه‌حل  $s_i$  توسط راه‌حل مقایسه‌شده، مغلوب شود، یک واحد به مقدار عدد صحیح اضافه خواهد شد، در غیر این صورت، راه‌حل مقایسه‌شده به مجموعه‌ی راه‌حل  $s_i$  اضافه خواهد شد. بنابراین، مقدار عدد صحیح نشان‌دهنده‌ی تعداد راه‌حل‌هایی است که  $s_i$  را مغلوب می‌کنند. علاوه‌براین، مجموعه‌ی اختصاص داده‌شده به راه‌حل  $s_i$ ، نشان‌دهنده‌ی راه‌حل‌هایی است که توسط  $s_i$  مغلوب

رولت انتخاب می‌شود که راه‌حل‌ها با فاصله‌ی ازدحامی بیشتر، احتمال بالاتری برای انتخاب شدن دارند.

اپراتورهای تقاطع و جهش برای تولید راه‌حل‌های جدید از راه‌حل‌های فعلی به کار گرفته می‌شوند. تقاطع یک اپراتور اکتشاف<sup>۸۳</sup> است که راه‌حل‌های کاندید جدید را بر اساس راه‌حل‌های فعلی، جستجو می‌کند [۳۰]. دو راه‌حل جدید (فرزند) با اجرای اپراتور تقاطع بر روی دو والد (راه‌حل‌های فعلی)، تولید می‌شوند. روش‌های مختلفی برای تقاطع وجود دارد که عبارتند از تقاطع تک نقطه‌ای<sup>۸۴</sup>، تقاطع دو نقطه‌ای<sup>۸۵</sup> و تقاطع یکنواخت<sup>۸۶</sup> [۴۶]. در این مقاله، از اپراتور تقاطع دو نقطه‌ای استفاده شده است. بنابراین برای هر دو راه‌حل والد، دو عدد صحیح بین دو و تعداد گره‌های محاسباتی به عنوان نقطه‌ی تقاطع انتخاب می‌شود. سپس، هر راه‌حل به سه بخش با استفاده از نقاط تقاطع تقسیم می‌شود و زیر راه‌حل‌ها با یکدیگر ترکیب شده و راه‌حل‌های جدید را تولید می‌کنند.

جهش یک اپراتور مهم در الگوریتم‌های تکاملی است که فضای جستجوی راه‌حل‌ها را گسترش می‌دهد. این اپراتور، منجر به کشف نواحی امیدوار کننده در فضای جستجو و ارائه‌ی تنوع در میان جمعیت می‌شود و از همگرایی جمعیت به نقاط بهینه‌ی محلی جلوگیری می‌کند. در این کار، به منظور انجام عملیات جهش، سه اپراتور جهش مختلف تعریف شده است. اپراتور اول، زمان‌بند را مجبور می‌کند که وظیفه‌ی مورد نظر را به یکی از مراکز داده‌ی ابری که به صورت تصادفی انتخاب شده، ارسال کند. در اپراتور دوم، برنامه‌ی تخصیص دو وظیفه که به طور تصادفی انتخاب شده‌اند، در گره‌های محاسباتی، مبادله می‌شود. اپراتور سوم، مقدار یک ژن که به طور تصادفی انتخاب شده به مقدار مخالف تغییر می‌دهد.

#### ۴-۱-۵- بررسی امکان‌سنجی راه‌حل‌ها و ارزیابی مجدد مقدار هزینه‌ی راه‌حل‌ها

تولید جمعیت جدید با استفاده از اپراتورهای تقاطع و جهش ممکن است منجر به تولید راه‌حل‌هایی شود که قیود مسأله را برآورده نمی‌کنند. به این منظور، برای برآورده کردن قیود مسأله، مشابه با [۳۰]، در این مقاله، رویکرد تابع جریمه به کار گرفته شده است. به راه‌حل‌هایی که قید (۱۴) مرتبط با مهلت زمانی وظیفه را برآورده نکنند و میزان تاخیر پاسخ آن‌ها بیشتر از مهلت زمانی وظیفه باشد، جریمه‌ای اختصاص داده خواهد شد. مقدار جریمه با میزان تخطی از قید متناسب است. در ابتدا، میزان تخطی هر وظیفه  $V(i)$ ، با استفاده از رابطه‌ی (۱۸) محاسبه خواهد شد:

$$V(i) = \begin{cases} 0, & \text{if } SRT_i^j \leq dl_i \\ SRT_i^j - dl_i, & \text{otherwise} \end{cases} \quad (18)$$

می‌شوند. بر اساس این دو پارامتر به هر راه‌حل در جمعیت، یک رتبه اختصاص داده می‌شود که نشان‌دهنده‌ی جبهه‌ای است که راه‌حل به آن تعلق دارد. راه‌حل‌ها با رتبه‌ی صفر به راه‌حل‌های جبهه‌ی پارتوی بهینه متعلق هستند. پس از محاسبه‌ی جبهه‌ی پارتوی بهینه، از راه‌حل‌های موجود در آن، چشم‌پوشی می‌شود و بر این اساس، راه‌حل‌های باقیمانده برای محاسبه‌ی جبهه‌ای که به آن تعلق دارند، پردازش می‌شوند. این فرآیند تا زمانی که همه‌ی راه‌حل‌های موجود در جمعیت در جبهه‌های مختلف قرار گرفته باشند، تکرار می‌شود. سپس، به راه‌حل‌هایی که در جبهه‌های یکسان قرار دارند، یک رتبه‌ی تنوع<sup>۷۶</sup> با استفاده از استراتژی حفظ تنوع<sup>۷۷</sup> اختصاص داده می‌شود [۴۴]. تراکم راه‌حل‌ها در اطراف یک راه‌حل خاص در جمعیت، با استفاده از معیار فاصله‌ی ازدحامی محاسبه می‌شود که برابر است با فاصله‌ی میانگین دو راه‌حل همسایه در دو طرف آن راه‌حل در امتداد هر یک از توابع هدف. در واقع، هدف اصلی فاصله‌ی ازدحامی یافتن فاصله‌ی اقلیدسی<sup>۷۸</sup> بین راه‌حل‌های همسایه در یک فضای H-بعدی است که H نشان‌دهنده‌ی تعداد توابع هدف مسأله می‌باشد. مقدار بزرگتر این معیار منجر به تنوع بیشتر در راه‌حل‌های جمعیت می‌شود. بنابراین به راه‌حل با فاصله‌ی ازدحامی بیشتر، اولویت بالاتری اختصاص داده می‌شود [۱۹]. برای هر راه‌حل  $i$ ، دو راه‌حل مجاور در جبهه‌ی یکسان در نظر گرفته می‌شوند و سپس فاصله‌ی ازدحامی راه‌حل با استفاده از رابطه‌ی (۱۷) محاسبه می‌شود:

$$CD_i = \begin{cases} \infty, & \text{if } i = 1 \text{ or } l \\ \frac{\sum_{h=1}^H (f_h(s_{i+1}) - f_h(s_{i-1}))}{f_h^{\max} - f_h^{\min}}, & \text{otherwise} \end{cases} \quad (17)$$

در این رابطه،  $l$  نشان‌دهنده‌ی تعداد راه‌حل‌ها در جبهه‌ی یکسان است و H تعداد توابع هدف است.  $f_h^{\min}$  و  $f_h^{\max}$  مقادیر حداقل و حداکثر  $h$ مین تابع هدف هستند.

#### ۴-۱-۴- اپراتورهای انتخاب، تقاطع و جهش

اپراتور انتخاب<sup>۷۹</sup>، به منظور تعیین چگونگی انتخاب والدین و ایجاد جمعیت جدید، استفاده می‌شود. روش‌های مختلفی برای انتخاب والدین وجود دارد که عبارتند از انتخاب تصادفی<sup>۸۰</sup>، انتخاب رقابتی<sup>۸۱</sup>، انتخاب چرخه‌ی رولت<sup>۸۲</sup> و غیره [۴۵]. در الگوریتم پیشنهادی، از رویکرد چرخه‌ی رولت برای انتخاب والدین‌ها (راه‌حل‌های نسل فعلی که فرزندان یا راه‌حل‌های نسل بعدی از آن‌ها تولید می‌شوند) استفاده شده است. به این منظور، به جبهه‌های مختلف، احتمالی متناسب با رتبه‌ی آن‌ها ارائه می‌شود، بنابراین جبهه با رتبه‌ی کمتر دارای احتمال بیشتری نسبت به جبهه با رتبه‌ی بالاتر است. پس از انتخاب یک جبهه، مجدداً، یکی از راه‌حل‌های موجود در جبهه‌ی انتخاب شده، با استفاده از چرخه‌ی

۳) پیچیدگی مربوط به تخصیص فاصله‌ی ازدحامی: پیچیدگی این بخش مربوط به مرتب‌سازی راه‌حل‌ها با توجه به مقدار هر تابع هدف است. با توجه به این که H مرتب‌سازی مستقل (مربوط به هر تابع هدف) نیاز است، در بدترین مورد وقتی که همه‌ی راه‌حل‌ها در یک جبهه باشند، مرتب‌سازی دارای پیچیدگی  $O(H \log P)$  است.

۴) پیچیدگی مربوط به اپراتور انتخاب: پیچیدگی این بخش مربوط به فرآیند انتخاب در مراحل مختلف الگوریتم است و برابر است با  $O(2P \log(2P))$ .

بنابراین پیچیدگی کلی الگوریتم  $O(HP^2)$  است که مربوط به بخش مرتب‌سازی نامغلوب الگوریتم می‌باشد.

### ۵- ارزیابی عملکرد روش ارائه‌شده

به منظور ایجاد محیط شبیه‌سازی و توپولوژی شبکه، در این مقاله، از زبان برنامه‌نویسی پایتون و کتابخانه‌ی SimPy [۴۸] استفاده شده‌است. در ادامه، تنظیمات شبیه‌سازی، معیارهای ارزیابی و الگوریتم‌های مبنا جهت مقایسه شرح داده خواهند شد. شایان ذکر است که پارامترهای شبیه‌سازی بر اساس مقاله‌ی [۴۹] تنظیم شده‌است.

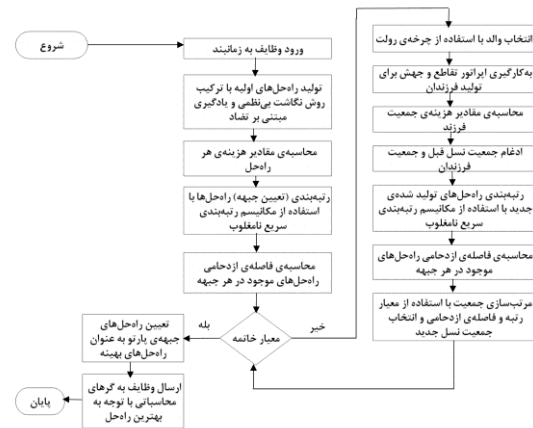
### ۵-۱- تنظیمات شبیه‌سازی

به منظور ایجاد توپولوژی شبکه‌ی شهر هوشمند، ما یک گراف بدون جهت با ۲۰ گره‌ی IoT، یک گره‌ی زمان‌بند، ۱۲ گره‌ی مه و ۳ مرکز داده‌ی ابری/یجاد کرده‌ایم. در این مقاله، گره‌های مه و مراکز داده‌ی ابری به طور ناهمگن و با قابلیت‌های محاسباتی مختلفی در نظر گرفته شده‌اند و فرکانس CPU گره‌های مه و مراکز داده‌ی ابری مطابق با دستگاه‌های شرکت سیسکو تنظیم شده‌است. بنابراین، ظرفیت پردازشی گره‌های مه و مراکز داده‌ی ابری به ترتیب در بازه‌ی  $[0.2, 2.4] \times 10^9$  هرتز و  $[4, 6] \times 10^9$  هرتز در نظر گرفته شده‌است. سرعت انتشار بین همه‌ی گره‌ها به  $3 \times 10^8$  تنظیم شده‌است. علاوه‌براین، فاصله‌ی بین دستگاه‌های IoT و گره‌ی زمان‌بند، گره‌ی زمان‌بند به گره‌های مه و گره‌های مه به مراکز داده‌ی ابری، به ترتیب، ۷۰ متر، ۱ کیلومتر و ۱۶ کیلومتر در نظر گرفته شده‌اند. ارتباطات بین دستگاه‌های IoT و گره‌ی زمان‌بند به صورت بیسیم و براساس پروتکل ارتباطات IEEE 802.11n و سایر ارتباطات شبکه بر اساس فیبر نوری فرض شده‌اند. از این رو، نرخ انتقال بین دستگاه‌های IoT و گره‌ی زمان‌بند، ۶۰۰ مگابیت بر ثانیه و بین زمان‌بند و گره‌های مه و همچنین بین گره‌های مه و مراکز داده‌ی ابری، به ترتیب، ۱ و ۴ گیگابیت بر ثانیه فرض شده‌است. همچنین، توان محاسباتی گره‌های مه در محدوده‌ی ۰/۹ تا ۱/۲۳ وات و توان محاسباتی مراکز داده‌ی

مقدار جریمه به صورت مجموع میزان تخطی همه‌ی وظایف در آن راه‌حل در نظر گرفته می‌شوند. بنابراین، با افزایش هزینه‌ی این راه‌حل‌ها، احتمال باقی ماندن آن‌ها در نسل‌های بعدی کاهش خواهد یافت.

### ۴-۱-۶- شرایط خاتمه

بر طبق [۴۷]، سه نوع شرایط خاتمه در الگوریتم‌های تکاملی عبارتند از: ۱) رسیدن به حداکثر تعداد تکرار از پیش تعریف شده، ۲) رسیدن به حداکثر تعداد ارزیابی توابع هدف از پیش تعریف شده و ۳) رسیدن به تعداد معینی تکرار بدون تغییر قابل توجهی در مقدار تابع هدف. معیار خاتمه در الگوریتم زمان‌بندی پیشنهادی، رسیدن به تعداد معینی از تکرارها می‌باشد. در شکل ۳، مراحل که زمان‌بند با دریافت وظایف ورودی انجام می‌دهد، نشان داده شده‌است.



شکل ۳: فلوچارت تابع زمان‌بند پیشنهادی مبتنی بر الگوریتم NSGA-II بهبود یافته

### ۴-۱-۷- پیچیدگی زمانی الگوریتم پیشنهادی

پیچیدگی زمانی یک تکرار الگوریتم به شرح زیر است: ۱) پیچیدگی مقداردهی اولیه جمعیت: که مرتبط است با پیچیدگی زمانی برای تولید جمعیت مبتنی بر نگاشت بی‌نظمی و جمعیت متضاد که برابر است با  $O(PLI)$  که P سایز جمعیت، L تعداد متغیرها (ابعاد) و I تعداد تکرارهای نگاشت بی‌نظمی است. ۲) پیچیدگی مربوط به بخش مرتب‌سازی نامغلوب: به منظور شناسایی راه‌حل‌های اولین جبهه‌ی نامغلوب در جمعیت با سایز P، هر راه‌حل با هر راه‌حل دیگر در جمعیت مقایسه می‌شود تا مشخص شود که بر آن غالب است یا خیر که این نیازمند  $O(HP)$  مقایسه برای هر راه‌حل است که H تعداد توابع هدف است. وقتی که این فرآیند برای یافتن همه‌ی اعضای اولین سطح نامغلوب در جمعیت انجام می‌شود، پیچیدگی کل  $O(HP^2)$  است.

در رابطه‌ی (۱۹)،  $\beta_1$  و  $\beta_2$  فاکتور وزن در نظر گرفته می‌شوند و مقدار آن‌ها بسته به میزان اهمیت هر تابع هدف تعیین می‌شود. ما اهمیت توابع هدف را مساوی و برابر با  $0.5$  در نظر گرفته‌ایم.

الگوریتم زمان‌بندی تکامل تفاضلی باینری<sup>۹۱</sup>: در این طرح زمان‌بندی [۵۲]، اهداف و قیود یکسانی با طرح زمان‌بندی پیشنهادی استفاده شده‌است و از رابطه (۱۶) برای تبدیل دو هدف مسأله به یک هدف استفاده شده‌است.

الگوریتم زمان‌بندی ترکیب ژنتیک و PSO: در این طرح زمان‌بندی [۳۰]، به منظور بهبود قابلیت جستجوی الگوریتم PSO از اپراتورهای الگوریتم ژنتیک استفاده شده‌است.

الگوریتم زمان‌بندی NSGA-II: در این طرح زمان‌بندی [۳۷] از الگوریتم NSGA-II برای زمان‌بندی وظایف استفاده شده‌است که متفاوت با روش پیشنهادی در این مقاله، جمعیت اولیه به صورت تصادفی مقداردهی می‌شود.

### ۵-۳- معیارهای عملکرد

برای ارزیابی عملکرد الگوریتم زمان‌بندی پیشنهادی از معیارهای میانگین تاخیر پاسخ سرویس، میانگین درصد وظایفی که مهلت زمانیشان را از دست می‌دهند، میانگین زمان انتظار، میانگین تاخیر اجرای وظیفه، میانگین مصرف انرژی استفاده شده‌است.

در ادامه، نتایج حاصل از آزمایش‌های انجام شده برای ارزیابی عملکرد الگوریتم زمان‌بندی پیشنهادی ارائه خواهد شد. همه‌ی آزمایشات در ۵ تکرار انجام شده‌است و میانگین مقادیر به دست آمده، در نمودارها نمایش داده شده‌است.

### ۵-۴- تنظیم پارامترهای الگوریتم NSGA-II

برطبق [۳۷]، چهار پارامتر تاثیرگذار در کیفیت راه‌حل‌های به دست آمده توسط الگوریتم‌های تکاملی عبارتند از: سایز جمعیت، حداکثر تعداد تکرار، احتمال تقاطع و احتمال جهش. این پارامترها، کیفیت راه‌حل‌های به دست آمده را تحت تاثیر قرار می‌دهند. بنابراین، باید تاثیر این پارامترها بر عملکرد الگوریتم پیشنهادی بررسی شود و به منظور دستیابی به راه‌حل‌های مناسب‌تر، بهترین مقدار این پارامترها باید تعیین شود. بنابراین، در این بخش، در ابتدا آزمایشاتی برای تنظیم این پارامترها انجام شده‌است. بعد از به دست آوردن مناسب‌ترین مقدار برای هر پارامتر، این مقدار در تمام آزمایشات بعدی ثابت نگه داشته شده‌است. نتایج مربوط به آزمایشات در جدول ۲ نمایش داده شده‌است و نتیجه‌ی بهترین مقدار برای پارامتر موردنظر به صورت پررنگ نشان داده شده‌است. با توجه به اینکه، الگوریتم NSGA-II، یک الگوریتم تکاملی چند هدفه است، مجموعه‌ای از راه‌حل‌های نامغلوب را به عنوان خروجی ارائه می‌دهد.

ابری در محدوده‌ی  $1/6$  تا  $1/8$  وات تنظیم شده‌است. به‌علاوه، توان انتقال بین دستگاه‌های IoT و گره‌ی زمان‌بند، گره‌ی زمان‌بند و گره‌های مه و گره‌ی مه و مراکز داده‌ی ابری به ترتیب،  $0.25$ ،  $0.1$  و  $1/2$  وات در نظر گرفته شده‌است.

در این مقاله، وظایف به طور مصنوعی تولید می‌شوند و نرخ تولید داده،  $0.3$  ثانیه تنظیم شده‌است. علاوه‌براین، به منظور انجام آزمایشات و ارزیابی عملکرد روش پیشنهادی، وظایف در سایزهای مختلفی تولید شده‌اند. چرخه‌ی CPU مورد نیاز برای اجرای یک بیت وظیفه،  $297/62$  در نظر گرفته شده‌است. علاوه‌براین، نیازمندی‌های محاسباتی و مهلت زمانی وظایف، به طور تصادفی به ترتیب در محدوده‌ی  $10^6 \times [7.375, 12.5]$  هرتز و  $[500, 3800]$  میلی‌ثانیه، تعیین شده‌است. در این مقاله، سایز داده‌ی ورودی و خروجی، یکسان فرض شده‌است. همچنین، تعداد  $1200$  وظیفه توسط گره‌های IoT به منظور ارزیابی روش پیشنهادی تولید می‌شوند. گره‌ی زمان‌بند، تابع زمان‌بند را پس از دریافت هر  $200$  وظیفه اجرا می‌کند و وظایف را به گره‌های محاسباتی تعیین شده ارسال می‌کند. لازم به ذکر است که در این مقاله، وظایف به عنوان کوچکترین واحدهای پردازش در نظر گرفته شده‌اند، بنابراین نمی‌توانند به چندین زیر وظیفه جهت پردازش بر روی گره‌های محاسباتی مختلف، تقسیم شوند. هنگامی که یک وظیفه به یک گره‌ی محاسباتی ارسال می‌شود، در صورتی که گره‌ی محاسباتی بیکار<sup>۸۷</sup> باشد، وظیفه را پردازش خواهد کرد، در غیر این صورت، وظیفه در صف گره‌ی محاسباتی تا زمان در دسترس شدن گره، منتظر خواهد ماند.

### ۵-۲- الگوریتم‌های مبنا جهت مقایسه

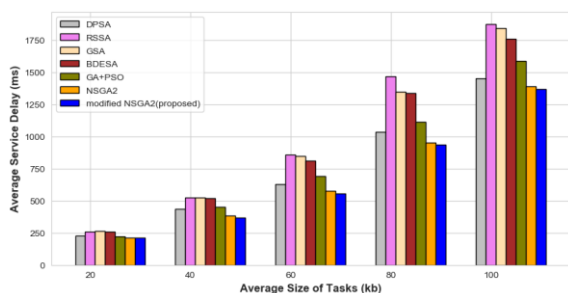
الگوریتم زمان‌بندی اولویت مبتنی بر مهلت زمانی<sup>۸۸</sup>: در این الگوریتم [۵۰]، به هر وظیفه متناسب با مهلت زمانیش یک اولویت داده می‌شود و وظایف با توجه به اولویتشان، به ترتیب به گره‌های محاسباتی اختصاص داده می‌شوند.

الگوریتم زمان‌بندی مبتنی بر انتخاب تصادفی<sup>۸۹</sup>: در این الگوریتم [۵۱]، هر وظیفه‌ی ورودی به صورت تصادفی و با احتمال یکسان به گره‌های محاسباتی مختلف اختصاص داده می‌شود.

الگوریتم زمان‌بندی ژنتیک<sup>۹۰</sup>: در این طرح زمان‌بندی [۱۵]، ما اهداف و قیود یکسانی با طرح زمان‌بندی پیشنهادیمان تعریف کرده‌ایم با این حال برای وظایف، با توجه به مهلت زمانیشان، اولویتی تعریف نشده‌است. با توجه به اینکه، الگوریتم ژنتیک، یک الگوریتم تک هدفه است، مجموع وزندار دو هدف به عنوان تابع هدف مسأله در نظر گرفته شده‌است و از رابطه‌ی (۱۹) استفاده شده‌است:

$$\text{Minimize } \beta_1 \times SRT + \beta_2 \times SEC \quad (19)$$

شده‌است. با این حال، روش پیشنهادی در سایزهای داده‌ی مختلف دارای عملکرد بهتری در مقایسه با سایر روش‌ها می‌باشد. دلیل این امر آن است که با توجه به اینکه یکی از اهداف در نظر گرفته شده در روش پیشنهادی، حداقل‌سازی تاخیر پاسخ سرویس می‌باشد، بنابراین، تابع زمان‌بند با تمرکز بر این هدف، منجر به کاهش میزان این پارامتر در مقایسه با سایر روش‌ها شده‌است. همچنین، از آنجا که الگوریتم NSGA-II یک الگوریتم تکاملی چند هدفه است، به جای یک راه‌حل، مجموعه‌ای از راه‌حل‌های بهینه را به دست می‌آورد و نیازی به تنظیم وزن برای اهداف مختلف نیست و سپس با توجه به اولویت کاربر برای تاخیر یا مصرف انرژی کمتر، یکی از این راه‌حل‌ها به عنوان راه‌حل بهینه انتخاب می‌شود. از طرفی، در روش پیشنهادی، برای راه‌حل‌هایی که قید مهلت زمانی را برآورده نمی‌کنند، جریمه‌ای در نظر گرفته شده‌است، در نتیجه شانس باقی ماندن آن‌ها در نسل‌های بعد کاهش می‌یابد و منجر به راه‌حل بهتر با تاخیر پاسخ کمتر می‌شود. از سوی دیگر، استفاده از روش نگاشت بی‌نظمی و یادگیری مبتنی بر تضاد برای مقداردهی اولیه‌ی جمعیت منجر به تنوع بیشتر در راه‌حل‌ها و همگرا شدن به راه‌حل با مقدار کمتر تاخیر می‌شود.



شکل ۴: میانگین تاخیر پاسخ سرویس در مقابل سایز داده‌ی مختلف.

در شکل ۵، درصد وظایفی که در مهلت زمانی مورد نظر پردازش نمی‌شوند، با توجه به سایزهای مختلف وظایف نمایش داده شده‌است. همانطور که در شکل ۵ مشاهده می‌شود، با افزایش سایز داده‌ی ورودی، درصد وظایفی که مهلت زمانیشان را از دست می‌دهند، افزایش یافته است. با این حال، الگوریتم پیشنهادی ما، کمترین درصد وظایفی که مهلت زمانیشان را از دست می‌دهند در مقایسه با سایر الگوریتم‌ها دارد. علت این امر آن است که در الگوریتم پیشنهادی برای وظایف مختلف با توجه به مهلت زمانیشان، اولویت‌هایی تعیین شده‌است. بنابراین، وظایف با اولویت‌های بالاتر قبل از وظایف با اولویت کمتر پردازش خواهند شد. علاوه بر این، در روش پیشنهادی با کاهش تاخیر پاسخ سرویس، وظایف بیشتری در مهلت زمانی در نظر گرفته شده، پردازش می‌شوند. از طرفی، همانطور که قبلاً گفته شد، در روش پیشنهادی برای راه‌حل‌هایی که

بنابراین، برای یافتن بهترین پاسخ از بین راه‌حل‌های نامغلوب، مجموع وزندار مقادیر دو تابع هدف محاسبه شده است و راه‌حل نامغلوب با کمترین مقدار مجموع وزندار به عنوان راه‌حل نهایی در نظر گرفته شده‌است.

همانطور که در جدول ۲ مشخص است، افزایش سایز جمعیت منجر به کاهش مجموع وزندار توابع هدف می‌شود. با این حال، برای سایز جمعیت بزرگتر از ۵۰ مقدار بهبود حاصل شده بسیار کم است، در حالی که، زمان اجرا به طور شدیدی افزایش می‌یابد. بنابراین، سایز جمعیت، ۵۰ تنظیم شده‌است. علاوه بر این، با توجه به آزمایشات انجام شده، پس از تکرار ۲۵، در مقدار توابع هدف بهبودی حاصل نمی‌شود، از این رو، حداکثر تعداد تکرار الگوریتم، ۲۵ تنظیم شده‌است. لازم به ذکر است که مقدار مجموع وزندار توابع هدف در جدول ۲ برای تابع هدف تاخیر سرویس با واحد زمانی ثانیه و برای مصرف انرژی با واحد ژول محاسبه شده‌است.

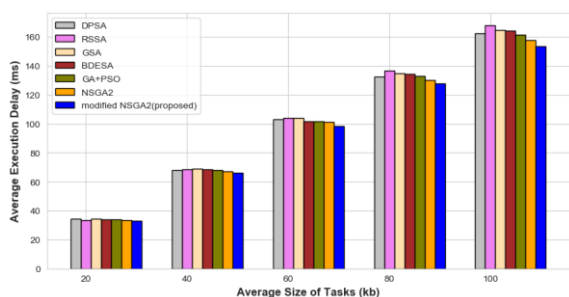
جدول ۲: تنظیم پارامترهای NSGA-II.

parameters	values				
	Tested values	۳۰	۵۰	۷۰	۱۳۰
$P_s$	Weighted sum of objectives	۰/۲۵۸	۰/۲۳۳	۰/۲۳۲	۰/۲۳۰
	Run time(s)	۲۰/۸۹	۳۵/۰۶	۴۹/۰۴	۹۰/۶۳
	Tested values	۱	۰/۹۷	۰/۹۵	۰/۹۰
$P_c$	Weighted sum of objectives	۰/۲۲۸	۰/۲۳۱	۰/۲۳۰	۰/۲۴۴
	Tested values	۰/۰۳	۰/۰۵	۰/۱	۰/۱۵
	Weighted sum of objectives	۰/۳۰۸	۰/۲۹۳	۰/۲۴۴	۰/۲۲۸

#### ۵-۵- نتایج آزمایشات مقایسه‌ی عملکرد الگوریتم پیشنهادی

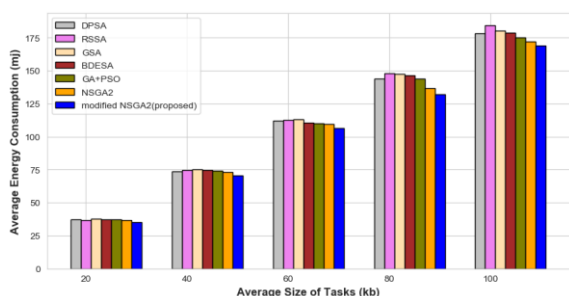
در این بخش، به مقایسه‌ی نتایج الگوریتم پیشنهادی با الگوریتم‌های مبنا که در بخش ۵-۲ توضیح داده شد، پرداخته‌ایم. لازم به ذکر است که نتایج نمایش داده شده در نمودارها، حاصل از محاسبه‌ی میانگین معیارهای ارزیابی برای ۱۲۰۰ وظیفه‌ی ورودی و ۵ تکرار می‌باشد.

به منظور بررسی تاثیر سایز مختلف وظایف بر روی عملکرد الگوریتم پیشنهادی، وظایفی با سایزهای مختلف ۲۰، ۴۰، ۶۰، ۸۰ و ۱۰۰ کیلوبایت، تولید شده‌است. نتایج مربوط به تاثیر افزایش سایز داده‌ی ورودی بر روی میانگین تاخیر پاسخ سرویس در شکل ۴، نشان داده شده‌است. همانطور که در شکل ۴ مشخص است، افزایش سایز داده‌ی ورودی منجر به افزایش تاخیر سرویس در همه‌ی روش‌ها



شکل ۷: میانگین تاخیر اجرای وظایف در مقابل سایز داده‌ی مختلف.

در شکل ۸، عملکرد الگوریتم پیشنهادی این مقاله از لحاظ میانگین مصرف انرژی در مقابل سایز داده‌ی مختلف در مقایسه با الگوریتم‌های مبنا نمایش داده شده‌است. همانطور که در شکل ملاحظه می‌شود، الگوریتم پیشنهادی دارای کمترین میزان مصرف انرژی در مقایسه با سایر الگوریتم‌ها می‌باشد. با توجه به اینکه یکی از اهداف در این مقاله، کاهش مصرف انرژی سیستم در نظر گرفته شده‌است، زمان‌بند برای کاهش مصرف انرژی تلاش می‌کند. در نتیجه با تخصیص مناسب وظایف به گره‌های محاسباتی باعث کاهش مصرف انرژی برای پردازش و انتقال وظایف ورودی می‌گردد. از طرفی، روش پیشنهادی با تمرکز بر دو هدف در نظر گرفته شده، منجر به موازنه بین تاخیر سرویس و مصرف انرژی سیستم می‌شود.

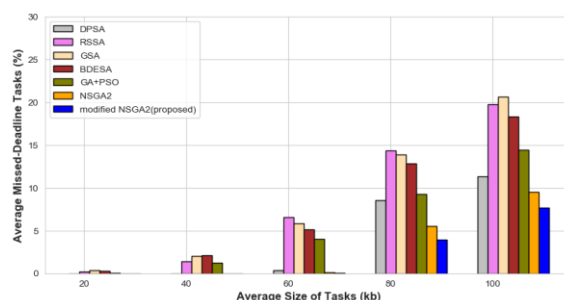


شکل ۸: میانگین مصرف انرژی در مقابل سایز داده‌ی مختلف.

#### ۵-۶- مقایسه‌ی پارادایم ابر و مه

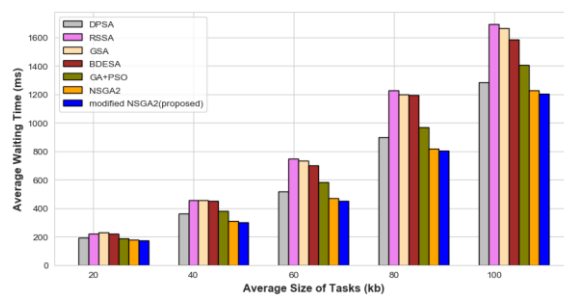
در این بخش، آزمایشاتی برای ارزیابی تاخیر پاسخ سرویس توسط منابعی که فقط ویژگی‌های ابر و محاسبات مه را دارند، انجام شده‌است. به طور کلی، منابع ابر دارای قابلیت‌های پردازشی بالایی هستند، باین‌حال، تاخیر انتقال این منابع بالا می‌باشد. در مقابل، منابع مه، قابلیت‌های پردازشی محدودی دارند، باین‌حال، با توجه به این‌که این منابع نزدیک به کاربران نهایی قرار دارند، دارای تاخیر انتقال کمی هستند. هدف از انجام این آزمایشات این است که نشان دهیم، ابر و مه نمی‌توانند به عنوان جایگزین یکدیگر در نظر گرفته شوند و مکمل هم هستند. همچنین قصد داریم بررسی کنیم که قرار دادن منابع بسیار قدرتمند در ابر مفیدتر است یا قرار دادن

قید مهلت زمانی را برآورده نمی‌کنند، جریمه در نظر گرفته شده‌است. بنابراین، این راه‌حل‌ها دارای مقدار هزینه‌ی بیشتری خواهند بود و شانس کمتری برای انتخاب شدن به عنوان راه‌حل بهینه را خواهند داشت.



شکل ۵: میانگین درصد وظایفی که مهلت زمانیشان را از دست می‌دهند در مقابل سایز داده‌ی مختلف.

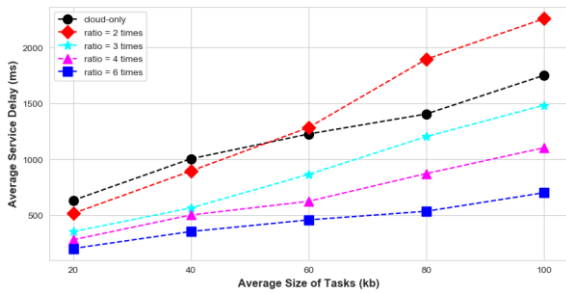
شکل ۶ میانگین زمان انتظار وظایف با توجه به سایز داده‌ی ورودی مختلف را برای چهار الگوریتم مورد بررسی در این مقاله نشان می‌دهد. همانطور که در شکل مشخص است، کمترین میانگین زمان انتظار متعلق به الگوریتم پیشنهادی است. با توجه به اینکه، در روش پیشنهادی تاخیر انتظار به عنوان بخشی از یکی از توابع هدف در نظر گرفته شده‌است، تابع زمان‌بند وظایف را به طور مناسبی در میان گره‌های محاسباتی که دارای بار کمتری هستند توزیع می‌کند که منجر به کاهش تاخیر انتظار وظایف می‌شود.



شکل ۶: میانگین زمان انتظار وظایف در مقابل سایز داده‌ی مختلف.

در شکل ۷، مقایسه‌ی عملکرد الگوریتم پیشنهادی با سایر الگوریتم‌ها از لحاظ میانگین تاخیر اجرای وظایف نمایش داده شده‌است. همانطور که ملاحظه می‌شود، کمترین تاخیر اجرای وظایف مربوط به الگوریتم پیشنهادی می‌باشد. با توجه به اینکه تاخیر پردازش وظایف، بخشی از یکی از توابع هدف این مقاله است، تابع زمان‌بند با اختصاص وظایف به گره‌های محاسباتی با ظرفیت پردازشی بیشتر منجر به کاهش تاخیر اجرای وظایف می‌شود.

کاربران باشند، باین‌حال، در صورتی‌که تعداد این منابع کم باشد، تاثیر منفی بر روی تاخیر سرویس و کیفیت تجربه‌ی کاربران خواهد گذاشت.



شکل ۱۰: تاخیر سرویس در مقایسه با ابر با تغییر تعداد گره‌ها در لایه‌ی مه.

#### ۷-۵- بحث و تحلیل نتایج

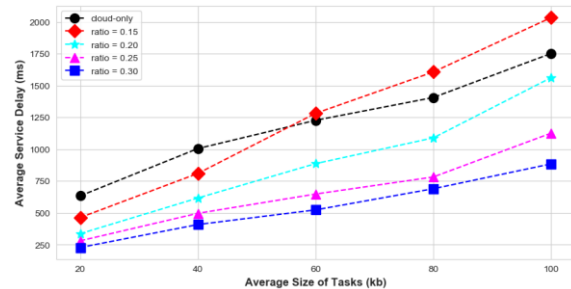
در بخش قبلی به ارزیابی روش پیشنهادی پرداخته شد، همان‌طور که در نمودارها نشان داده شده‌است، روش پیشنهادی در مقایسه با سایر الگوریتم‌های زمان‌بندی عملکرد بهتری از لحاظ میانگین تاخیر پاسخ سرویس، میانگین درصد وظایفی که مهلت زمانیشان را از دست می‌دهند، میانگین زمان انتظار، میانگین تاخیر اجرای وظیفه و میانگین مصرف انرژی دارد. علت این امر این است که از آن‌جا که در مدل زمان‌بندی پیشنهادی اهداف در نظر گرفته شده تاخیر سرویس و مصرف انرژی سیستم است، زمان‌بند تلاش می‌کند تا با تخصیص مناسب وظایف به گره‌های محاسباتی، تاخیر سرویس و مصرف انرژی سیستم را کاهش دهد. در مدل زمان‌بندی پیشنهادی، تاخیر سرویس از چهار بخش تاخیر انتظار، تاخیر انتقال، تاخیر انتشار و تاخیر اجرای وظیفه تشکیل شده‌است. بنابراین زمان‌بند با تمرکز بر حداقل کردن این موارد منجر به کاهش تاخیر سرویس می‌شود. از طرفی، با توجه به این واقعیت که ما اولویت‌های مختلفی برای وظایف بر اساس مهلت زمانیشان در نظر گرفتیم، وظایفی که اولویت بالاتری دارند، قبل از وظایف با اولویت کمتر پردازش خواهند شد. همچنین وظایف با توجه به اولویتشان به گره‌های محاسباتی اختصاص داده می‌شوند. بنابراین، الگوریتم پیشنهادی وظایف با اولویت بالا را به گره‌های مه اختصاص می‌دهد و وظایف با اولویت کمتر به مراکز داده‌ی ابری ارسال می‌شوند که باعث کاهش درصد وظایفی می‌شود که مهلت زمانیشان را از دست می‌دهند.

همچنین در روش پیشنهادی به منظور مقداردی اولیه‌ی جمعیت از ترکیب روش‌های نگاشت بی‌نظمی و یادگیری مبتنی بر تضاد استفاده شده‌است که باعث افزایش تنوع در راه‌حل‌ها، بهبود قابلیت اکتشاف الگوریتم و قابلیت جستجوی سراسری، اجتناب از بهینه‌ی محلی و بهبود سرعت همگرایی و در نتیجه یافتن راه‌حل بهتر با

منابعی در مه با قابلیت‌های پردازشی کمتر در عین‌حال نزدیک به دستگاه‌های کاربر نهایی.

این آزمایش‌ها با در نظر گرفتن دو پارامتر نسبت قابلیت پردازشی مه به ابر و همچنین نسبت تعداد منابع مه به ابر انجام شده‌است. در هر آزمایش، یکی از پارامترها ثابت نگه داشته شده و با تغییر پارامتر دیگر، تاثیر آن بر تاخیر پاسخ سرویس، بررسی شده‌است و سپس تاخیری که با تغییر این پارامترها به دست می‌آید با سیستمی که فقط منبع ابر را در نظر می‌گیرد مقایسه شده‌است. برای سیستم با فقط منابع ابر، ۳ مرکز داده‌ی ابری با قابلیت پردازشی  $10^9 \times 6$  هر تری در نظر گرفته شده‌است. لازم به ذکر است که، به منظور ارزیابی تاخیر سرویس، ۵۰۰ وظیفه با نرخ تولید ۰/۳ ثانیه و سایز میانگین مختلف تولید شده‌است.

در شکل ۹، تاثیر نسبت قابلیت پردازشی بر روی تاخیر سرویس ارزیابی شده‌است. در این آزمایش، تعداد گره‌های مه، ۴ برابر تعداد مراکز داده‌ی ابری و نسبت قابلیت پردازشی گره‌های مه به مراکز داده‌ی ابری متغیر و با مقادیر ۰/۱۵، ۰/۲۰، ۰/۲۵ و ۰/۳۰ در نظر گرفته شده‌است. همان‌طور که در شکل مشاهده می‌شود، کاهش نسبت قابلیت‌های منابع مه به ابر، منجر به افزایش تاخیر سرویس می‌شود تا زمانی که به نقطه‌ای می‌رسد که در آن، تاخیر مه بیشتر از تاخیر ابر است. در این مورد می‌توان نتیجه‌گیری کرد که اگرچه منابع مه در مقایسه با ابر به کاربران نهایی نزدیکتر هستند، در صورتی‌که قابلیت پردازشی کمی داشته باشند، منجر به تاخیر بالایی می‌شوند.



شکل ۹: تاخیر پاسخ سرویس مه در مقایسه با ابر با تغییر قابلیت پردازشی منابع مه.

شکل ۱۰، تاثیر نسبت تعداد گره‌های مه بر روی تاخیر سرویس را نشان می‌دهد. در این آزمایش، قابلیت‌های پردازشی گره‌های مه، ۰/۲۵ قابلیت‌های پردازشی مراکز داده‌ی ابری تنظیم شده‌است و تعداد منابع مه نسبت به ابر از ۲، ۳، ۴، ۶ برابر تغییر می‌کند. همان‌طور که در شکل مشخص است، با کاهش تعداد منابع، تاخیر پاسخ سرویس افزایش می‌یابد، تا زمانی که به نقطه‌ای می‌رسد که در آن، تاخیر مه بیشتر از ابر است. در این مورد می‌توان نتیجه‌گیری کرد که اگرچه منابع مه دارای قابلیت پردازشی مناسب و نزدیک به



جدول ۳: مقایسه عملکرد الگوریتم‌های زمان‌بندی مختلف

سایز وظایف (KB)						معیار ارزیابی
۱۰۰	۸۰	۶۰	۴۰	۲۰	روش	
۱۴۵۲/۴	۱۰۳۴/۶	۶۲۶/۸	۴۳۵/۰	۲۲۷/۴	DPSA	تاخیر
۱۸۷۳/۵	۱۴۷۰/۵	۸۵۷/۶	۵۲۶/۷	۲۵۷/۰	RSSA	پاسخ سرویس (ms)
۱۸۴۳/۸	۱۳۴۷/۴	۸۴۶/۳	۵۲۶/۳	۲۶۵/۶	GSA	
۱۷۶۱/۱	۱۳۳۹/۳	۸۱۰/۳	۵۲۱/۵	۲۵۶/۸	BDESA	درصد وظایف با مهلت از دست رفته (%)
۱۵۸۵/۴	۱۱۱۲/۶	۶۸۹/۷	۴۵۲/۴	۲۲۴/۷	GA+PSO	
۱۳۹۰/۳	۹۵۳/۳	۵۷۶/۷	۳۸۲/۲	۲۱۴/۷	NSGAI	زمان انتظار (ms)
۱۳۶۹/۶	۹۳۸/۷	۵۵۴/۸	۳۷۰/۴	۲۱۰/۲	Proposed	
۱۱/۳۵	۸/۵۳	۰/۴۰	۰	۰	DPSA	تاخیر اجرا (ms)
۱۹/۷۶	۱۴/۳۸	۶/۵۷	۱/۳۷	۰/۱۹	RSSA	
۲۰/۶۰	۱۳/۸۹	۵/۸۷	۲/۰۴	۰/۳۴	GSA	مصرف انرژی (mj)
۱۸/۲۹	۱۲/۸۶	۵/۱۰	۲/۱۱	۰/۲۸	BDESA	
۱۴/۴۲	۹/۲۴	۴/۰۲	۱/۲۳	۰/۰۹	GA+PSO	پیشنهادی می‌تواند منجر به کاهش درصد وظایفی شود که مهلت زمانیشان را از دست می‌دهند. در نهایت، آزمایشاتی برای نشان دادن اهمیت یکپارچه کردن رایانش مه در رایانش ابر، انجام شد. رایانش مه در مقایسه با ابر دارای تاخیر انتقال کمی است و با توجه به معماری توزیع‌شده، قادر است منطقه‌ی جغرافیایی گسترده‌ای را پوشش دهد. بنابراین، به‌کارگیری آن در رایانش ابر منجر به تاخیر سرویس کمتر و تجربه‌ی بهتر کاربران می‌شود. در کار آینده، هدف ما مطالعه‌ی بهینه‌سازی اهداف دیگر از جمله افزایش استفاده‌ی
۹/۵۴	۵/۵۱	۰/۱۵	۰	۰	NSGAI	
۷/۶۵	۳/۹۸	۰/۰۹	۰	۰	Proposed	
۱۲۸۱/۷	۸۹۶/۵	۵۱۸/۵	۳۶۲/۶	۱۹۱/۸	DPSA	نتیجه‌گیری و کارهای آتی
۱۶۹۲/۳	۱۲۲۶/۳	۷۴۸/۴	۴۵۳/۴	۲۲۰/۴	RSSA	
۱۶۶۶/۳	۱۱۹۹/۹	۷۳۵/۰	۴۵۳/۱	۲۲۸/۶	GSA	در این مقاله، یک مدل زمان‌بندی وظایف برای برنامه‌های کاربردی شهر هوشمند در محیط ابر-مه ارائه شد. با توجه به اینکه بسیاری از برنامه‌های کاربردی شهر هوشمند حساس به تاخیر هستند، کاهش تاخیر ارائه‌ی خدمات نقش مهمی در بهبود تجربه‌ی کاربر بازی می‌کند. از طرفی، ارائه‌دهندگان خدمات مه و ابر به دنبال کاهش مصرف انرژی سیستم می‌باشند. بنابراین، در این پژوهش بر روی این دو فاکتور به عنوان اهداف اصلی تمرکز شده و کاهش تاخیر ارائه‌ی خدمات و مصرف انرژی سیستم با در نظر گرفتن قید مهلت زمانی به عنوان توابع هدف انتخاب شده‌اند. به منظور حل این مسأله و یافتن راه‌حل مناسب، الگوریتم NSGA-II به کار گرفته شده‌است که در آن به منظور بهبود تنوع در راه‌حل‌ها از ترکیب روش نگاشت بی‌نظمی و یادگیری مبتنی بر تضاد برای مقداردهی اولیه جمعیت استفاده کردیم. از آن‌جا که، الگوریتم NSGA-II یک الگوریتم تکاملی چندهدفه است می‌تواند منجر به ایجاد موازنه بین اهداف مختلف مسأله شود. از طرفی، به منظور برآورده کردن قید مهلت زمانی، از یک رویکرد مبتنی بر جریمه استفاده شده‌است. پس از تعیین پارامترهای الگوریتم NSGA-II، به منظور ارزیابی عملکرد، آن را با شش الگوریتم زمان‌بندی DPSA، RSSA، BDESA، GSA، GA+PSO و NSGA-II (ورژن استاندارد) مقایسه نمودیم. نتایج حاصل از آزمایشات نشان می‌دهد که روش پیشنهادی با تخصیص مناسب وظایف به گره‌های محاسباتی منجر به کاهش تاخیر سرویس و مصرف انرژی می‌شود. از طرفی، از آنجا که به وظایف با توجه به مهلت زمانیشان، اولویت‌هایی اختصاص داده شده‌است، روش
۱۶۲/۴	۱۳۲/۶	۱۰۳/۰	۶۸/۲	۳۴/۳	DPSA	
۱۶۷/۹	۱۳۶/۹	۱۰۳/۹	۶۸/۶	۳۳/۵	RSSA	
۱۶۴/۹	۱۳۴/۹	۱۰۳/۸	۶۹/۰	۳۴/۵	GSA	
۱۶۴/۴	۱۳۴/۲	۱۰۱/۸	۶۸/۵	۳۴/۱	BDESA	
۱۶۴/۴	۱۳۴/۲	۱۰۱/۵	۶۸/۰	۳۳/۹	GA+PSO	
۱۵۷/۹	۱۳۰/۳	۱۰۱/۰	۶۷/۱	۳۳/۴	NSGAI	
۱۵۳/۶	۱۲۷/۸	۹۸/۵	۶۶/۰	۳۳/۰	Proposed	
۱۷۷/۹	۱۴۴/۱	۱۱۲/۰	۷۳/۷	۳۷/۱	DPSA	
۱۸۴/۲	۱۴۷/۹	۱۱۲/۷	۷۴/۷	۳۶/۶	RSSA	
۱۸۰/۲	۱۴۷/۲	۱۱۲/۸	۷۵/۰	۳۷/۶	GSA	
۱۷۸/۵	۱۴۶/۲	۱۱۰/۷	۷۴/۷	۳۷/۱	BDESA	
۱۷۵/۳	۱۴۴/۱	۱۰۹/۹	۷۴/۳	۳۷/۰	GA+PSO	
۱۷۲/۳	۱۳۶/۹	۱۰۹/۵	۷۳/۰	۳۶/۵	NSGAI	
۱۶۹/۱	۱۳۲/۲	۱۰۶/۴	۷۰/۰	۳۵/۰	Proposed	

### نتیجه‌گیری و کارهای آتی

حدافل‌سازی تاخیر سرویس و مصرف انرژی سیستم می‌شود. در نهایت با آزمایشاتی که در بخش ۵-۶ انجام دادیم، اهمیت یکپارچه کردن رایانش مه در رایانش ابر را نشان دادیم. این آزمایشات نشان داد که تعداد مناسب گره‌های مه و قابلیت پردازشی مناسب آن‌ها، منجر به کاهش تاخیر سرویس و بهبود تجربه کاربر می‌شود.

از محدودیت‌ها و معایب مدل زمان‌بند پیشنهادی می‌توان به این نکته اشاره کرد که در حال حاضر تحرک کاربران در نظر گرفته نشده‌است. علاوه‌براین، یکی از معایب الگوریتم NSGA-II سرعت همگرایی کند آن است که در این کار با استفاده از روش پیشنهادی برای تولید جمعیت اولیه تا حدودی بهبود داده شد. با این حال، می‌توان با در نظر گرفتن اپراتورهای تقاطع و جهش بهتر به نتایج مطلوب‌تری دست یافت. در جدول ۳ نتایج مربوط به الگوریتم‌های زمان‌بندی مختلف تحت معیارهای ارزیابی مختلف نشان داده شده‌است.

در این مقاله، یک مدل زمان‌بندی وظایف برای برنامه‌های کاربردی شهر هوشمند در محیط ابر-مه ارائه شد. با توجه به اینکه بسیاری از برنامه‌های کاربردی شهر هوشمند حساس به تاخیر هستند، کاهش تاخیر ارائه‌ی خدمات نقش مهمی در بهبود تجربه‌ی کاربر بازی می‌کند. از طرفی، ارائه‌دهندگان خدمات مه و ابر به دنبال کاهش مصرف انرژی سیستم می‌باشند. بنابراین، در این پژوهش بر روی این دو فاکتور به عنوان اهداف اصلی تمرکز شده و کاهش تاخیر ارائه‌ی خدمات و مصرف انرژی سیستم با در نظر گرفتن قید مهلت زمانی به عنوان توابع هدف انتخاب شده‌اند. به منظور حل این مسأله و یافتن راه‌حل مناسب، الگوریتم NSGA-II به کار گرفته شده‌است که در آن به منظور بهبود تنوع در راه‌حل‌ها از ترکیب روش نگاشت بی‌نظمی و یادگیری مبتنی بر تضاد برای مقداردهی اولیه جمعیت استفاده کردیم. از آن‌جا که، الگوریتم NSGA-II یک الگوریتم تکاملی چندهدفه است می‌تواند منجر به ایجاد موازنه بین اهداف مختلف مسأله شود. از طرفی، به منظور برآورده کردن قید مهلت زمانی، از یک رویکرد مبتنی بر جریمه استفاده شده‌است. پس از تعیین پارامترهای الگوریتم NSGA-II، به منظور ارزیابی عملکرد، آن را با شش الگوریتم زمان‌بندی DPSA، RSSA، BDESA، GSA، GA+PSO و NSGA-II (ورژن استاندارد) مقایسه نمودیم. نتایج حاصل از آزمایشات نشان می‌دهد که روش پیشنهادی با تخصیص مناسب وظایف به گره‌های محاسباتی منجر به کاهش تاخیر سرویس و مصرف انرژی می‌شود. از طرفی، از آنجا که به وظایف با توجه به مهلت زمانیشان، اولویت‌هایی اختصاص داده شده‌است، روش

- [16] Xu, J., Hao, Z., Zhang, R. and Sun, X., "A method based on the combination of laxity and ant colony system for cloud-fog task scheduling" *IEEE Access*, 7, pp.116218-116226, 2019.
- [17] Zhan, Z.H., Liu, X.F., Gong, Y.J., Zhang, J., Chung, H.S.H. and Li, Y., "Cloud computing resource scheduling and a survey of its evolutionary approaches" *ACM Computing Surveys (CSUR)*, 47(4), pp.1-33, 2015.
- [18] Zhou, A., Qu, B.Y., Li, H., Zhao, S.Z., Suganthan, P.N. and Zhang, Q., "Multiobjective evolutionary algorithms: A survey of the state of the art" *Swarm and Evolutionary Computation*, 1(1), pp.32-49, 2011.
- [19] Deb, K., Pratap, A., Agarwal, S. and Meyarivan, T.A.M.T., "A fast and elitist multiobjective genetic algorithm: NSGA-II" *IEEE transactions on evolutionary computation*, 6(2), pp.182-197, 2002.
- [20] Xu, X., Liu, X., Xu, Z., Dai, F., Zhang, X. and Qi, L., "Trust-oriented IoT service placement for smart cities in edge computing" *IEEE Internet of Things Journal*, 7(5), pp.4084-4091, 2019.
- [21] Xu, X., Huang, Q., Yin, X., Abbasi, M., Khosravi, M.R. and Qi, L., "Intelligent offloading for collaborative smart city services in edge computing" *IEEE Internet of Things Journal*, 7(9), pp.7919-7927, 2020.
- [22] Naranjo, P.G.V., Pooranian, Z., Shojafar, M., Conti, M. and Buyya, R., "FOCAN: A Fog-supported smart city network architecture for management of applications in the Internet of Everything environments" *Journal of Parallel and Distributed Computing*, 132, pp.274-283, 2019.
- [23] Tang, C., Wei, X., Zhu, C., Wang, Y. and Jia, W., "Mobile vehicles as fog nodes for latency optimization in smart cities" *IEEE Transactions on Vehicular Technology*, 69(9), pp.9364-9375, 2020.
- [24] Hosseinioun, P., Kheirabadi, M., Tabbakh, S.R.K. and Ghaemi, R., "A new energy-aware tasks scheduling approach in fog computing using hybrid meta-heuristic algorithm" *Journal of Parallel and Distributed Computing*, 143, pp.88-96, 2020.
- [25] Hosseinzadeh, M., Masdari, M., Rahmani, A.M., Mohammadi, M., Aldalwie, A.H.M., Majeed, M.K. and Karim, S.H.T., "Improved Butterfly Optimization Algorithm for Data Placement and Scheduling in Edge Computing Environments" *Journal of Grid Computing*, 19(2), pp.1-27, 2021.
- [26] Tanha, M., Hosseini Shirvani, M. and Rahmani, A.M., 2021. A hybrid meta-heuristic task scheduling algorithm based on genetic and thermodynamic simulated annealing algorithms in cloud computing environments. *Neural Computing and Applications*, 33(24), pp.16951-16984.
- [27] Ghanavati, S., Abawajy, J.H. and Izadi, D., "An Energy Aware Task Scheduling Model Using Ant-Mating Optimization in Fog Computing Environment" *IEEE Transactions on Services Computing*, 2020.
- [28] Bitam, S., Zeadally, S. and Mellouk, A., "Fog computing job scheduling optimization based on bees swarm" *Enterprise Information Systems*, 12(4), pp.373-397, 2018.
- [29] Kumar, A.S. and Venkatesan, M., "Multi-objective task scheduling using hybrid genetic-ant colony optimization algorithm in cloud environment" *Wireless Personal Communications*, 107(4), pp.1835-1848, 2019.
- [30] Shahryari, O.K., Pedram, H., Khajehvand, V. and TakhtFooladi, M.D., "Energy and task completion time trade-off for task offloading in fog-enabled IoT networks" *Pervasive and Mobile Computing*, p.101395, 2021.
- [31] Huang, T., Lin, W., Xiong, C., Pan, R. and Huang, J., 2020. An ant colony optimization-based multiobjective service replicas placement strategy for fog computing. *IEEE Transactions on Cybernetics*.
- [32] Memari, P., Mohammadi, S.S., Jolai, F. and Tavakkoli-Moghaddam, R., 2022. A latency-aware task scheduling algorithm for allocating virtual machines in a cost-effective and time-sensitive fog-cloud architecture. *The Journal of Supercomputing*, 78(1), pp.93-122.
- [33] Zade, B.M.H., Mansouri, N. and Javidi, M.M., 2021. SAEA: A security-aware and energy-aware task scheduling strategy by Parallel Squirrel Search Algorithm in cloud environment. *Expert Systems with Applications*, 176, p.114915.
- [34] Dubey, K. and Sharma, S.C., 2021. A novel multi-objective CR-PSO task scheduling algorithm with deadline constraint in cloud computing. *Sustainable Computing: Informatics and Systems*, 32, p.100605.
- منبع و کاهش هزینه خواهد بود. همچنین به مطالعه‌ی استفاده از الگوریتم‌های هیبریدی جهت حل مسأله‌ی زمان‌بندی وظایف خواهیم پرداخت. یکی از معایب الگوریتم NSGA-II، همگرایی کند آن است. از طرفی، الگوریتم PSO، توانایی همگرایی سریع را دارا می‌باشد. بنابراین، در کار آینده، به بهبود عملکرد NSGA-II با ترکیب آن با مزیت PSO خواهیم پرداخت.

## مراجع

- [1] Tang, B., Chen, Z., Hefferman, G., Pei, S., Wei, T., He, H. and Yang, Q., "Incorporating intelligence in fog computing for big data analysis in smart cities" *IEEE Transactions on Industrial informatics*, 13(5), pp.2140-2150, 2017.
- [2] Dong, Y., Guo, S., Liu, J. and Yang, Y., "Energy-efficient fair cooperation fog computing in mobile edge networks for smart city" *IEEE Internet of Things Journal*, 6(5), pp.7543-7554, 2019.
- [3] Fiandrino, C., Anjomshoa, F., Kantarci, B., Kliazovich, D., Bouvry, P. and Matthews, J.N., "Sociability-driven framework for data acquisition in mobile crowdsensing over fog computing platforms for smart cities" *IEEE Transactions on Sustainable Computing*, 2(4), pp.345-358, 2017.
- [4] Liu, Q., Wei, Y., Leng, S. and Chen, Y., October. "Task scheduling in fog enabled Internet of Things for smart cities" In *2017 IEEE 17th International Conference on Communication Technology (ICCT)* (pp. 975-980), IEEE, 2017.
- [5] Desikan, K.S., Kotagi, V.J. and Murthy, C.S.R., September. "Smart at right price: A cost efficient topology construction for fog computing enabled iot networks in smart cities" In *2018 IEEE 29th Annual International Symposium on Personal, Indoor and Mobile Radio Communications (PIMRC)* (pp. 1-7), IEEE, 2018.
- [6] Liao, S., Dong, M., Ota, K., Wu, J., Li, J. and Ye, T., December. "Vehicle mobility-based geographical migration of fog resource for satellite-enabled smart cities" In *2018 IEEE Global Communications Conference (GLOBECOM)* (pp. 1-6). IEEE, 2018.
- [7] Deng, R., Lu, R., Lai, C., Luan, T.H. and Liang, H. "Optimal workload allocation in fog-cloud computing toward balanced delay and power consumption" *IEEE internet of things journal*, 3(6), pp.1171-1181, 2016.
- [8] Mahmud, R., Kotagiri, R. and Buyya, R., "Fog computing: A taxonomy, survey and future directions" In *Internet of everything* (pp. 103-130). Springer, Singapore, 2018.
- [9] Yousefpour, A., Fung, C., Nguyen, T., Kadiyala, K., Jalali, F., Niakanlahiji, A., Kong, J. and Jue, J.P., "All one needs to know about fog computing and related edge computing paradigms: A complete survey" *Journal of Systems Architecture*, 98, pp.289-330, 2019.
- [10] Stojmenovic, I. and Wen, S., "The fog computing paradigm: Scenarios and security issues" In *2014 federated conference on computer science and information systems* (pp. 1-8). IEEE, 2014.
- [11] Bittencourt, L.F., Diaz-Montes, J., Buyya, R., Rana, O.F. and Parashar, M., "Mobility-aware application scheduling in fog computing" *IEEE Cloud Computing*, 4(2), pp.26-35, 2017.
- [12] Pham, X.Q. and Huh, E.N., "Towards task scheduling in a cloud-fog computing system" In *2016 18th Asia-Pacific network operations and management symposium (APNOMS)* (pp. 1-4). IEEE, 2016.
- [13] Jennings, B. and Stadler, R., "Resource management in clouds: Survey and research challenges" *Journal of Network and Systems Management*, 23(3), pp.567-619, 2015.
- [14] Basu, S., Karupiah, M., Selvakumar, K., Li, K.C., Islam, S.H., Hassan, M.M. and Bhuiyan, M.Z.A., "An intelligent/cognitive model of task scheduling for IoT applications in cloud computing environment" *Future Generation Computer Systems*, 88, pp.254-261, 2018.
- [15] Aburukba, R.O., AliKarrar, M., Landolsi, T. and El-Fakih, K., "Scheduling Internet of Things requests to minimize latency in hybrid Fog-Cloud computing" *Future Generation Computer Systems*, 111, pp.539-551, 2020.

- [43] Truong, Khoa H., et al. "A quasi-oppositional-chaotic symbiotic organisms search algorithm for global optimization problems." *Applied Soft Computing* 77,567-583, (2019).
- [44] Salimi, R., Motameni, H. and Omranpour, H., "Task scheduling using NSGA II with fuzzy adaptive operators for computational grids" *Journal of Parallel and Distributed Computing*, 74(5), pp.2333-2350, 2014.
- [45] Sivanandam, S.N. and Deepa, S.N., "Genetic algorithms" In *Introduction to genetic algorithms* (pp. 15-37). Springer, Berlin, Heidelberg, 2008.
- [46] Du, K.L. and Swamy, M.N.S., "Particle swarm optimization" In *Search and optimization by metaheuristics* (pp. 153-173). Birkhäuser, Cham, 2016.
- [47] Safe, M., Carballido, J., Ponzoni, I. and Brignole, N., September. "On stopping criteria for genetic algorithms" In *Brazilian Symposium on Artificial Intelligence* (pp. 405-413). Springer, Berlin, Heidelberg, 2004.
- [48] T. SimPy, Simpy: Discrete event simulation for python, Tech. Rep. 9, 2017, URL <https://simpy.readthedocs.io/en/latest/>.
- [49] Gazori, Pegah, Dadmehr Rahbari, and Mohsen Nickray. "Saving time and cost on the scheduling of fog-based IoT applications using deep reinforcement learning approach." *Future Generation Computer Systems* 110, pp.1098-1115, 2020.
- [50] Rajput, I.S. and Gupta, D., "A priority based round robin CPU scheduling algorithm for real time systems" *International Journal of Innovations in Engineering and Technology*, 1(3), pp.1-11, 2012.
- [51] Zhu, Q., Si, B., Yang, F. and Ma, Y., "Task offloading decision in fog computing system" *China Communications*, 14(11), pp.59-68, 2017.
- [52] Wang, L., Fu, X., Mao, Y., Menhas, M.I. and Fei, M., 2012. A novel modified binary differential evolution algorithm and its applications. *Neurocomputing*, 98, pp.55-75.
- [35] Abd Elaziz, M., Abualigah, L. and Attiya, I., 2021. Advanced optimization technique for scheduling IoT tasks in cloud-fog computing environments. *Future Generation Computer Systems*.
- [36] Nguyen, B.M., Thi Thanh Binh, H. and Do Son, B., "Evolutionary algorithms to optimize task scheduling problem for the IoT based bag-of-tasks application in cloud-fog computing environment", *Applied Sciences*, 9(9), p.1730, 2019.
- [37] Ali, I.M., Sallam, K.M., Moustafa, N., Chakraborty, R., Ryan, M.J. and Choo, K.K.R., "An Automated Task Scheduling Model using Non-Dominated Sorting Genetic Algorithm II for Fog-Cloud Systems" *IEEE Transactions on Cloud Computing*, 2020.
- [38] Tsegaye, A. and Assefa, B.G., 2021, November. HSSIW: Hybrid Squirrel Search and Invasive Weed Based Cost-Makespan Task Scheduling for Fog-Cloud Environment. In *2021 International Conference on Information and Communication Technology for Development for Africa (ICT4DA)* (pp. 160-165). IEEE.
- [39] Wang, Y., Lang, P., Tian, D., Zhou, J., Duan, X., Cao, Y. and Zhao, D., "A game-based computation offloading method in vehicular multiaccess edge computing networks" *IEEE Internet of Things Journal*, 7(6), pp.4987-4996, 2020.
- [40] Han, S., Xu, X., Fang, S., Sun, Y., Cao, Y., Tao, X. and Zhang, P., "Energy efficient secure computation offloading in NOMA-based mMTC networks for IoT" *IEEE Internet of Things Journal*, 6(3), pp.5674-5690, 2019.
- [41] Guerrero, C., Lera, I. and Juiz, C. Evaluation and efficiency comparison of evolutionary algorithms for service placement optimization in fog architectures. *Future Generation Computer Systems*, 97, pp.131-144, 2019.
- [42] Li, Q., Liu, S.Y. and Yang, X.S. "Influence of initialization on the performance of metaheuristic optimizers". *Applied Soft Computing*, 91, p.106193, 2020.

## پاورقی‌ها:

- <sup>29</sup> Edge computing
- <sup>30</sup> Strength Pareto Evolutionary Algorithm II (SPEAII)
- <sup>31</sup> Computation offloading
- <sup>32</sup> Road Side Unit (RSU)
- <sup>33</sup> Integer Linear Programming (ILP)
- <sup>34</sup> Invasive Weed Optimization (IWO)
- <sup>35</sup> Cultural Evolution Algorithm (CEA)
- <sup>36</sup> Mobile Edge Computing (MEC)
- <sup>37</sup> Butterfly Optimization Algorithm (BOA)
- <sup>38</sup> Simulated Annealing (SA)
- <sup>39</sup> Ant Mating Optimization (AMO)
- <sup>40</sup> Bees Life Algorithm (BLA)
- <sup>41</sup> Hybrid Genetic Algorithm-Ant Colony Optimization (HGA-ACO)
- <sup>42</sup> Mixed-Integer Non-Linear Programming (MINLP)
- <sup>43</sup> Particle Swarm Optimization (PSO)
- <sup>44</sup> Tabu Search Algorithm (TSA)
- <sup>45</sup> Fruit Fly Optimization (FOA)
- <sup>46</sup> Approximate Nearest Neighbor (ANN)
- <sup>47</sup> Squirrel Search Algorithm (SSA)
- <sup>48</sup> Chemical Reaction Partial Swarm Optimization
- <sup>49</sup> Laxity-based Priority Algorithm (LBPA)
- <sup>50</sup> Ant Colony Optimization(ACO)
- <sup>51</sup> Static
- <sup>52</sup> Artificial ecosystem based optimization (AEO)
- <sup>53</sup> Salp Swarm Algorithm (SSA)
- <sup>54</sup> Individual
- <sup>55</sup> Invasive weed
- <sup>1</sup> Urbanization
- <sup>2</sup> Internet of Things (IoT)
- <sup>3</sup> Computing tasks
- <sup>4</sup> Big data
- <sup>5</sup> Sensing layer
- <sup>6</sup> Paradigm
- <sup>7</sup> Fog computing
- <sup>8</sup> Gateways
- <sup>9</sup> Access points
- <sup>10</sup> Task scheduling
- <sup>11</sup> Load balancing
- <sup>12</sup> Exact
- <sup>13</sup> Heuristic
- <sup>14</sup> Near-optimal
- <sup>15</sup> Population-based evolutionary algorithm
- <sup>16</sup> Pareto set
- <sup>17</sup> Non-dominated sorting genetic algorithm II (NSGA-II)
- <sup>18</sup> Non-dominated sorting mechanism
- <sup>19</sup> Crowding distance
- <sup>20</sup> Elitist
- <sup>21</sup> Crossover
- <sup>22</sup> Mutation
- <sup>23</sup> Chaotic map
- <sup>24</sup> Opposition based learning
- <sup>25</sup> Penalty function
- <sup>26</sup> Cooperative
- <sup>27</sup> Workload
- <sup>28</sup> Service placement

<sup>56</sup> Processing Delay	<sup>74</sup> integer
<sup>57</sup> Transmission Delay	<sup>75</sup> set
<sup>58</sup> Propagation Delay	<sup>76</sup> diversity
<sup>59</sup> Queuing Delay	<sup>77</sup> Diversity-preservation
<sup>60</sup> Dominance	<sup>78</sup> Euclidian distance
<sup>61</sup> Non-dominated	<sup>79</sup> selection
<sup>62</sup> population	<sup>80</sup> Random selection
<sup>63</sup> front	<sup>81</sup> Tournament selection
<sup>64</sup> density	<sup>82</sup> Roulette Wheel Selection
<sup>65</sup> parents	<sup>83</sup> Exploration operator
<sup>66</sup> offsprings	<sup>84</sup> Single point crossover
<sup>67</sup> Population size	<sup>85</sup> Double point crossover
<sup>68</sup> Fast Non-Dominated Sorting	<sup>86</sup> Uniform crossover
<sup>69</sup> ranking	<sup>87</sup> Idle
<sup>70</sup> Logistic map	<sup>88</sup> Deadline-based Priority Scheduling Algorithm (DPSA)
<sup>71</sup> Iterative map	<sup>89</sup> Random Selection Scheduling Algorithm (RSSA)
<sup>72</sup> Generation	<sup>90</sup> Genetic Scheduling Algorithm (GSA)
<sup>73</sup> Fast non-dominated sorting mechanism	<sup>91</sup> Binary Differential Evolution scheduling Algorithm (BDESA)